

(19)



Евразийское
патентное
ведомство

(21)

201991126

(13) A1

(12) ОПИСАНИЕ ИЗОБРЕТЕНИЯ К ЕВРАЗИЙСКОЙ ЗАЯВКЕ

(43) Дата публикации заявки
2019.11.29

(51) Int. Cl. A61K 39/09 (2006.01)
C12R 1/46 (2006.01)
A61K 39/00 (2006.01)

(22) Дата подачи заявки
2017.11.10

(54) СНИЖЕНИЕ ВИРУЛЕНТНОСТИ БАКТЕРИЙ ПУТЕМ СНИЖЕНИЯ ТРАНСПОРТА ФОЛАТА У БАКТЕРИЙ

(31) 16198361.4

(32) 2016.11.11

(33) ЕР

(86) PCT/US2017/061170

(87) WO 2018/089841 2018.05.17

(71) Заявитель:

БЁРИНГЕР ИНГЕЛЬХАЙМ
ВЕТМЕДИКА ГМБХ (DE)

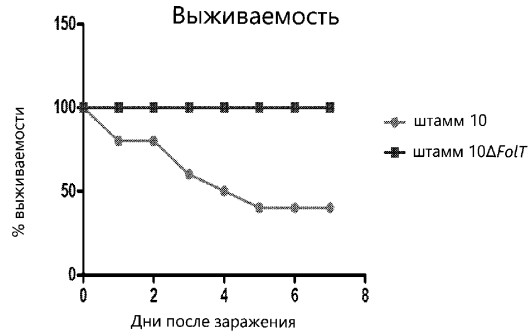
(72) Изобретатель:

Ингебритсон Элейна, Нойбауэр
Аксель (US), Смит Хильда Элизабет,
Де Грефф Астрид (NL)

(74) Представитель:

Веселицкая И.А., Веселицкий М.Б.,
Кузенкова Н.В., Каксис Р.А., Белоусов
Ю.В., Куликов А.В., Кузнецова Е.В.,
Соколов Р.А., Кузнецова Т.В. (RU)

(57) Настоящее изобретение относится к бактериальным инфекциям, вакцинам против этих инфекций и бактериальным вакцинам. Более конкретно, настоящее изобретение относится к вакцинам, направленным против стрептококковых инфекций у свиней. В настоящем изобретении предложен мутант Δ FolT бактерии, обладающий сниженной способностью транспортировать фолат, причем указанная способность была снижена путем функционального удаления функции транспортера фолата (FolT). В настоящем изобретении также предложен способ снижения вирулентности бактерии, включающий снижение способности указанной бактерии транспортировать фолат.



201991126

A1

A1

201991126

СНИЖЕНИЕ ВИРУЛЕНТНОСТИ БАКТЕРИЙ ПУТЕМ СНИЖЕНИЯ ТРАНСПОРТА ФОЛАТА У БАКТЕРИЙ

5

ОБЛАСТЬ ТЕХНИКИ, К КОТОРОЙ ОТНОСИТСЯ ИЗОБРЕТЕНИЕ

Изобретение относится к бактериальным штаммам, препаратам, направленным против бактериальных инфекций, и бактериальным вакцинам. Более конкретно, настоящее изобретение относится к вакцинам, направленным 10 против стрептококковых инфекций у свиней.

УРОВЕНЬ ТЕХНИКИ

Растения, грибы, некоторые простейшие и большинство бактерий вырабатывают фолат (витамин В9) *de novo*, начиная с ГТФ и хоризматы, но у высших животных отсутствуют ключевые ферменты такого синтетического пути 15 и поэтому требуется поступающий с пищей фолат. Фолаты имеют решающее значение для здоровья, а антифолатные препараты широко используются в химиотерапии рака и в качестве противомикробных препаратов. По этим причинам пути синтеза и реутилизации фолата были широко охарактеризованы на модельных организмах, а путь синтеза фолата как у бактерий, так и у 20 растений был сконструирован для повышения содержания фолата в пищевых продуктах. Тетрагидрофолат является важным кофактором для многих биосинтетических ферментов. Он действует как носитель одноуглеродных звеньев в синтезе таких критических метаболитов как метионин, пурины, глицин, пантотенат и тимидилат. Например, фермент 25 кетопантоатгидроксиметилтрансфераза, кодируемая геном *rapB*, нуждается в кофакторе тетрагидрофолата для синтеза предшественников пантотената. Поскольку тетрагидрофолат синтезируется *de novo* в бактериях, ингибирование его синтеза убивает клетки. Действительно, два очень эффективных антибиотика, сульфонамид и триметопrim, убивают бактериальные клетки 30 блокируя выработку тетрагидрофолата. Эти два антибиотика, которые часто используются в сочетании друг с другом, обычно назначаются для лечения инфекций мочевыводящих путей, кишечных инфекций, таких как шигеллез, и инфекций дыхательных путей. Успех этих препаратов свидетельствует о чувствительности многих патогенных бактерий к ингибиторам синтеза

тетрагидрофолата. Бактерии имеют многостадийный путь синтеза кофактора тетрагидрофолата. В одной ветви этого пути метаболиты хоризмат и глутамин являются субстратами для аминодезоксихоризматсинтазы, кодируемой генами *B. subtilis*, *pabA* и *pabB*, которая продуцирует 4-амино-4-дезоксихоризмат.

- 5 Аминодезоксихоризматлиаза, кодируемая *pabC* *B. subtilis*, затем превращает 4-амино-4-дезоксихоризмат в важный предшественник *пара*-аминобензойную кислоту (РАВА). В другой ветви ряд ферментов, в том числе энзимы, кодируемые *mtrA*, *folA* и *folK* *B. subtilis*, продуцируют предшественник 2-амино-4-гидрокси-6-гидроксиметил-7,8-дигидроксиптеридиндифосфат. Этот
- 10 предшественник и РАВА являются субстратами для дигидроптероат-синтетазы, кодируемой геном *sul* *B. subtilis* (гомологичным генам *dhpS* и *folP* *E. coli*), которая продуцирует дигидроптероат. Сульфонамиды, такие как сульфаметоксазол, являются конкурентными ингибиторами дигидроптероатсинтазы. Дигидроптероат модифицируется бифункциональным
- 15 ферментом, кодируемым *folC* *B. subtilis*, с образованием дигидрофолата. Наконец, DHFR (дигидрофолатредуктаза), кодируемая *dfrA* *B. subtilis*, модифицирует этот дигидрофолат с образованием конечного продукта тетрагидрофолата. Триметопrim является конкурентным ингибитором бактериальных DHFR. Эта селективность является критической, поскольку
- 20 антибиотик не препятствует эукариотическим DHFR. Скорее всего, фолат необходим для всех секвенированных бактерий, кроме *M. hyopneumoniae*. Однако не все бактерии синтезируют фолат *de novo*, а вместо этого полагаются на внешний источник. Чтобы предсказать отсутствие пути синтеза *de novo*, белки HPPK (*FolK*) и DHPS (*FolP*) используются в качестве сигнатурных белков.
- 25 Многие бактерии не имеют гомологов обоих этих генов и поэтому почти наверняка полагаются на уменьшение и глутамилирование интактных фолатов, взятых из окружающей среды. В основном это связанные с хозяином бактерии, такие как микоплазма или трепонема, или организмы, которые живут в богатых фолатом средах, такие как лактобациллы.

- 30 Виды *Streptococcus*, среди которых существует большое количество вызывающих инфекции у домашних животных и человека, часто группируются по группам Лэнсфилда. Отнесение к определенной группе по Лэнсфилду происходит на основе серологических детерминант или антигенов, которые, среди прочего, присутствуют в капсуле бактерии, и допускает только

приблизительное определение, часто бактерии из другой группы проявляют перекрестную реактивность друг с другом, в то время как другие стрептококки не могут быть отнесены к определенной группе вообще. Внутри групп дальнейшая дифференциация часто возможна на основе серотипирования; эти 5 серотипы также способствуют большой антигенной вариабельности стрептококков, что создает множество трудностей в диагностике и вакцинации против стрептококковых инфекций. Стрептококки группы А по Лэнсфилду (GAS, *Streptococcus pyogenes*) часто встречаются у детей, вызывая инфекции носоглотки и их осложнения. Стрептококки группы В (GBS) представляют собой 10 основную причину бактериального сепсиса и менингита среди новорожденных и становятся значительными патогенами новорожденных в развивающихся странах. Стрептококки группы В по Лэнсфилду (GBS) также вызывают мастит у крупного рогатого скота. Инфекции, вызванные представителями группы С по Лэнсфилду, такими как *S. equi*, *S. zooepidemicus*, *S. dysgalactiae* и другими, в 15 основном наблюдаются у лошадей, крупного рогатого скота и свиней.

Инфекции, вызванные представителями группы D по Лэнсфилду (*S. bovis*), встречаются у всех млекопитающих и некоторых птиц, что иногда приводит к эндокардиту или сепсису. Представители групп Е, Г, Л, Р, У и В по Лэнсфилда (*S. porcinus*, *S. canis*, *S. dysgalactiae*) встречаются у различных хозяев, вызывая 20 неонатальные инфекции, инфекции носоглотки или мастит. В группах Р, С и Т по Лэнсфилду (и среди не отнесенные к группам) обнаружена *S. suis*, которая является важной причиной менингита, сепсиса, артрита и внезапной смерти молодых свиней. Кстати, последняя также может вызвать менингит у человека. Не отнесенные к группам виды *Streptococcus*, такие как *S. mutans*, вызывают 25 кариес у людей, такие как *S. uberis*, вызывают мастит у крупного рогатого скота и, такие как *S. pneumonia*, вызывают инвазивные заболевания, такие как пневмония, бактериемия и менингит.

Streptococcus suis является зоонозным патогеном, который повсеместно 30 присутствует в популяциях свиней в промышленном свиноводстве. Тридцать три капсульных серотипа были описаны до настоящего времени [1] из которых серотипы 1, 2, 7, 9 и 14 часто изолируются от больных свиней в Европе [2]. Вирулентность штаммов различается между серотипами и внутри них: внутри серотипа 2 были выделены вирулентные, авирулентные, а также слабовирулентные изоляты, которые можно различить на основании экспрессии

маркеров вирулентности, белка, высвобождаемого мурамидазой (MRP) и внеклеточного фактора (EF) [3] и суйлизина [4,5]. Носоглоточное носительство *S. suis* у взрослых свиней протекает бессимптомно, тогда как у молодых поросят увеличивается восприимчивость к инвазивному заболеванию, вызванному *S. suis*, что приводит к менингиту, артриту и серозиту, а также к высоким показателям смертности. В западных странах люди, подвергающиеся профессиональному контакту со свиньями или сырой свининой, могут также заразиться *S. suis*, хотя заболеваемость очень низкая. Инвазивная инфекция, вызванная *S. suis*, у людей дает такие же клинические признаки, как у свиней; пациенты часто страдают от глухоты после выздоровления [6]. В Юго-Восточной Азии *S. suis*, в частности серотипа 2, считается новым патогеном для людей и признан основной причиной бактериального менингита [7-10]. Сообщается, что в Юго-Восточной Азии клинические признаки заражения человека *S. suis* более серьезны по сравнению с другими частями мира, у пациентов развивается токсический шокоподобный синдром, сепсис и менингит. Мало что известно о патогенезе заболевания, вызванного *S. suis*. Различные бактериальные компоненты, такие как белки, связанные с внеклеточными и клеточными мембранами, играют роль в патогенезе. Более того, было показано, что капсула является важным фактором вирулентности, позволяющим микроорганизмам противостоять фагоцитозу. Современные стратегии профилактики инфекций, вызванных *S. suis*, у свиней включают антибиотикотерапию больных свиней в сочетании со стратегиями вакцинации аутовакцинами [11]. Хотя аутовакцинация бактериальными вакцинами против бактерий серотипа 2 показала, что она способна снизить количество клинических вспышек на фермах, то же самое нельзя сказать о серотипе 9, от которого аутовакцинация не обеспечивает эффективной защиты [12,13]. Помимо того факта, что бактериальные вакцины менее эффективны против инфекций, вызванных бактериями серотипа 9, они могут защищать только от бактерий того серотипа, которые присутствуют в вакцине. Однако, как упоминалось ранее, некоторые серотипы могут вызывать заболевание, поэтому аутовакцины являются временным решением клинической вспышки. Для долгосрочного решения проблемы инфекций, вызванных *S. suis*, необходимы вакцины, которые широко защищают от всех (патогенных) серотипов. Было проведено много

исследований, чтобы найти подходящих кандидатов для вакцины, однако, пока нет никакой перекрестной вакцины.

КРАТКОЕ ОПИСАНИЕ ИЗОБРЕТЕНИЯ

В настоящем изобретении предложен способ получения бактерии, 5 предпочтительно для использования в вакцине, предпочтительно для использования в вакцине для создания защиты от бактериальной инфекции, включающий выбор родительского бактериального штамма, обычно способного к транспорту фолата и синтезу фолата, и выбор бактерии из этого родительского штамма, которая имеет модификацию, такую как мутация, делеция или вставка, 10 в области ДНК указанной бактерии, кодирующей белок, связывающий субстрат фолата (у *Streptococcus suis* известный как ген *folT*), и отбор указанной бактерии со способностью расти с такой же скоростью, как и указанный родительский штамм *in vitro*, но расти с более низкой скоростью по сравнению с указанным родительским штаммом *in vivo*. В настоящем изобретении также предложен 15 способ получения бактерии, предпочтительно для использования в вакцине, предпочтительно вакцину для использования для создания защиты от бактериальной инфекции, включающий выбор родительского бактериального штамма, обычно способного к транспорту фолатов и синтезу фолатов, и выбор бактерии из этого родительского штамма, которая имеет модификацию, такую 20 как мутация, делеция или вставка, в области ДНК указанной бактерии, кодирующей белок, связывающий субстрат фолата (у *Streptococcus suis* известный как ген *folT*), и отбор указанной бактерии со способностью расти с такой же скоростью, как и указанный родительский штамм *in vitro*, но расти с более низкой скоростью по сравнению с указанным родительским штаммом *in vivo*. В настоящем изобретении также предложена бактерия, бактериальная 25 культура, которую можно получить или полученная способом селекции или трансформации согласно настоящему изобретению. Предпочтительно, чтобы указанная бактерия, предложенная в настоящем документе, классифицировалась как фирмикут, предпочтительно как *Streptococcus*, более предпочтительно как *Streptococcus suis*. В изобретении также предложена композиция, содержащая бактерию или культуру бактерии, способную расти с такой же скоростью, как указанный родительский штамм *in vitro*, но с более низкой скоростью по сравнению с указанным родительским штаммом *in vivo*. В изобретении также предложено использование такой композиции для производства вакцины.

Предпочтительно, такая вакцинная композиция содержит бактерию или культуру бактерии, способную расти с такой же скоростью, как указанный родительский штамм *in vitro*, но с более низкой скоростью по сравнению с указанным родительским штаммом *in vivo*.

5 В изобретении также предложен способ снижения (аттенуирования) вирулентности бактерии, причем указанная бактерия предпочтительно способна синтезировать фолат *de novo*, включающий снижение способности указанной бактерии к транспорту фолата. Авторы настоящего изобретения предлагают бактерию, названную в настоящем документе мутантом *ΔFolT*, в частности, в 10 настоящем документе предложен штамм *Streptococcus suis*, в котором указанная способность была значительно снижена путем функционального удаления функции транспортера фолата (*FolT*). Эта бактерия, как предложено в настоящем документе, все еще обладает способностью продуцировать фолат для собственного использования путем применения путей синтеза фолата *de novo*.
15 Интактность этих путей синтеза не влияет на способность к росту *in vitro* (в культуре), однако неожиданно было показано, что рост и вирулентность у хозяина (*in vivo*) значительно снижены. Такой бактериальный штамм, который хорошо растет *in vitro*, но *in vivo* растет меньше, чем его родительский штамм, и имеет значительно сниженную вирулентность *in vivo*, очень полезен в качестве 20 вакцинного штамма. Такой штамм или мутант, предложенный в настоящем изобретении, с одной стороны, по существу, не подвержен влиянию синтеза фолата и, таким образом, может быть выращен до высоких титров и, следовательно, относительно прост и недорог в производстве, в то время как с другой стороны, из-за его сниженного роста и сниженной вирулентностью у его 25 хозяина по сравнению с его родительским штаммом, он является относительно безвредным после применения *in vivo*, что делает его чрезвычайно полезным в качестве вакцины направленной против бактериальной инфекции.

Предложен прототип мутантного штамма *ΔFolT* с модификацией в области ДНК, кодирующей белок, связывающий субстрат фолата (у *Streptococcus suis* известный как ген *folT*), и имеющий такой же рост в культуре (*in vitro*), как его родительский штамм, но имеющий сниженный рост *in vivo* в отличие от своего родительского штамма, депонированный как «мутант *Streptococcus suis ΔFolT CBS 140425*» в Centraalbureau voor Schimmelcultures для целей патентной 30 процедуры в соответствии с Регламентом Будапештского договора от 19 августа

2015 г. Предложен другой прототип мутантного штамма $\Delta Folt$ с модификацией в области ДНК, кодирующей белок, связывающий субстрат фолата (у *Streptococcus suis* известный как ген *folT*), и имеющий такой же рост в культуре (*in vitro*), как его родительский штамм, но имеющий сниженный рост *in vivo* в отличие от своего родительского штамма, депонированный как «мутант *Streptococcus suis* $\Delta Folt2$ CBS 143192» в Westerdijk Fungal Biodiversity Institute для целей патентной процедуры в соответствии с Регламентом Будапештского договора от 25 августа 2017 г.

Способность к синтезу фолата *de novo* у бактерии можно легко проверить способами, известными в данной области, такими как тестирование роста бактерии в культуральной среде без фолата по сравнению с культуральной средой с фолатом, или другими методами, рассмотренными в BMC Genomics 2007, 8:245 (doi:10.1186/1471-2164-8-245, включенным в настоящий документ в качестве ссылки). У большинства бактерий есть по крайней мере два независимых пути получения тетрагидрофолата: один по классическому пути синтеза фолата и один быстрый способ с использованием транспортера фолата для импорта фолата. В настоящем документе термин *in vitro* означает, что имеется достаточное количество питательных веществ и энергии, доступных к использованию в классическом пути синтеза. Не желая быть связанным теорией, но предлагая возможное объяснение эффектов, обнаруженных изобретателями, *in vivo*, когда может быть нехватка питательных веществ и, следовательно, энергии, может быть намного сложнее инвестировать в производство ТГФ, следуя классическому пути. Альтернатива для импорта фолата, очевидно, выбрана далее. Основываясь на продолжающихся экспериментах, мы постулируем, что экспрессия *folT* является нагрузкой для бактерии, вероятно, из-за высокой гидрофобности. Повышенная экспрессия *folT* снижает скорость роста *in vitro*. Вероятно, это причина того, почему экспрессия *folT* так строго регулируется наличием его рибопереключателя. Он должен экспрессироваться только тогда, когда в этом есть абсолютная необходимость. В заключение следует отметить, что существует баланс между доступностью питательных веществ и потребностью в ТГФ по сравнению с нагрузкой экспрессии белка. В настоящее время авторы настоящего изобретения обнаружили, что этот баланс сдвигается *in vitro* в одну сторону, увеличивая синтез фолата *de novo*, а *in vivo* - в другую сторону, увеличивая транспорт фолата. Неожиданно, что снижение

(уменьшение) транспорта фолата в условиях *in vivo*, предпочтительно подавление транспорта фолата в условиях *in vivo* путем функционального удаления функции транспортера фолата, снижает вирулентность бактерии в хозяине, но не в культуре. В предпочтительном варианте осуществления изобретения предложен мутант $\Delta Folt$ бактерии, обладающий сниженной способностью транспорта фолата, в котором указанная способность была снижена путем функционального удаления функции транспортера фолата (*Folt*). В частности, авторы настоящего изобретения предлагают способ снижения (уменьшения) экспрессии и/или функции белка, связывающего субстрат фолата (*Folt*) у указанной бактерии, в частности, путем обеспечения мутации, делеции или вставки в ген *folt* указанной бактерии или в промотор указанного гена.

Такая мутация, делеция или вставка могут быть обнаружены с помощью ПЦР и/или анализа последовательности, известных в данной области. В конкретном варианте осуществления изобретение относится к способу нокаутирования гена *folt*, значительного ослабления бактерии, такой как *S. suis*, и обеспечения ее пригодности для использования *in vivo* в качестве вакцинного штамма, который еще можно легко культивировать *in vitro*. В другом варианте осуществления изобретение относится к способу, в котором указанная вирулентность снижена путем обеспечения мутации, делеции или вставки в ДНК указанной бактерии, кодирующей трансмембранный область белка *Folt*, связывающего субстрат фолата, предпочтительно оставляя иммуногенность *Folt* по существу интактной, наиболее предпочтительно оставляя гидрофильные белковые домены *Folt* по существу интактными. В другом варианте осуществления, изобретение относится к способу, в котором указанная вирулентность снижается путем обеспечения мутации, делеции или вставки в области ДНК, кодирующей *Folt*, у указанной бактерии, кодирующей область, критическую для связывания субстрата, причем указанная область в *S. suis* характеризуется пептидным доменом, имеющим аминокислотный участок FYRKР. Предпочтительно мутировать по меньшей мере аргинин (R) в участке FYRKР для устранения связывания фолата. В предпочтительном способе изобретения бактерия классифицируется как фирмикут, предпочтительно как *Streptococcus*, более предпочтительно как *Streptococcus suis*. Предпочтительно, чтобы мутант $\Delta Folt$ согласно изобретению обладал способностью синтезировать фолат; интактность этих путей синтеза не влияет на способность к росту *in vitro* (в культуре), однако

значительное снижение его вирулентности у хозяина (*in vivo*), что делает его очень подходящим для использования в вакцине. Предпочтительно, чтобы указанный мутант Δ FoLT согласно изобретению имел сниженную (уменьшенную или затрудненную) экспрессию FoLT, например, характеризовался сниженной 5 экспрессией FoLT *per se* или экспрессией варианта белка FoLT со сниженной молекулярной массой, такой как, например, может быть протестирована путем тестирования FoLT-специфических нуклеотидных конструктов указанного мутанта в исследованиях транскрипции/трансляции *in vitro*, как описано в экспериментальном разделе данного документа. В одном конкретном 10 предпочтительном варианте осуществления изобретение относится к мутанту Δ FoLT согласно изобретению, депонированному как «мутант *Streptococcus suis* Δ FoLT CBS 140425» в Centraalbureau voor Schimmelcultures 19 августа 2015 года. В другом конкретном предпочтительном варианте осуществления изобретение относится к мутанту Δ FoLT согласно изобретению, депонированному как 15 «мутант *Streptococcus suis* Δ FoLT2 CBS 143192» в Westerdijk Fungal Biodiversity Institute 25 августа 2017 года.

В другом конкретном предпочтительном варианте осуществления изобретение относится к мутантному штамму Δ FoLT согласно изобретению. Любой из этих депонированных штаммов может также использоваться для 20 предоставления мутантных нуклеотидных конструктов Δ FoLT в качестве контрольных конструктов в исследованиях экспрессии с дополнительными бактериальными мутантами Δ FoLT для изучения экспрессии вариантов гена FoLT или экспрессии белка вариантом геном FoLT. Любой из этих депонированных штаммов также может быть использован для получения 25 мутантной бактериальной культуры Δ FoLT или композиции, содержащей мутантную бактериальную культуру Δ FoLT согласно изобретению. В настоящем изобретении также предложена бактерия со сниженной вирулентностью, которую можно получить или полученная способом, предложенным в настоящем документе, и культура такой бактерии. Также предложена композиция, которая 30 содержит мутантную бактерию Δ FoLT или мутантную культуру Δ FoLT согласно изобретению, и применение такой композиции для производства вакцины. В настоящем изобретении также предложена вакцина, содержащая мутантную бактерию Δ FoLT или мутантную культуру Δ FoLT, согласно настоящему документу. В предпочтительном варианте осуществления предоставлен

vakцинныи штамм *Streptococcus* или вакцина, включающая мутант $\Delta F o l T$, способный экспрессировать не относящийся к *Streptococcus* белок. Такой мутантный вакцинныи штамм-вектор *Streptococcus* $\Delta F o l T$ позволяет при использовании в вакцине защищать от патогенных микроорганизмов, отличных от *Streptococcus*. Благодаря своему авирулентному характеру вакцинныи штамм *Streptococcus* или мутант $\Delta F o l T$, предложенный в настоящем документе, хорошо подходит для генерации специфических и продолжительных иммунных ответов не только против антигенов стрептококков, но также против других антигенов, экспрессируемых штаммом. Конкретно, антигены, полученные из другого патогена, теперь экспрессируются без вредного воздействия антигена или патогена, который в противном случае был бы вреден для хозяина. Примером такого вектора является вакцинныи штамм *Streptococcus* или мутант $\Delta F o l T$, в котором антиген происходит от патогена, такого как *Actinobacillus pleuropneumonia*, *Bordetella*, *Pasteurella*, *E. coli*, *Salmonella*, *Campylobacter*, *Serpulina* и других. Также предложена вакцина, включающая вакцинныи штамм *Streptococcus* или мутант $\Delta F o l T$ и фармацевтически приемлемый носитель или адьювант. Носители или адьюванты хорошо известны в данной области; примерами являются забуференный фосфатом физиологический раствор, физиологические солевые растворы, (двойные) эмульсии масло-в-воде, гидроксид алюминия, Спекол, блок- или сополимеры и другие. Вакцина, согласно изобретению, может включать вакцинныи штамм либо в инактивированной, либо в живой форме. Например, инактивированная вакцина, включающая штамм, имеющий (сверху) экспрессирующийся стрептококковый или гетерологичный антиген или фактор вирулентности, очень хорошо подходит для вызова иммунного ответа. В определенных вариантах осуществления предоставлена вакцина, в которой штамм является живым, благодаря своему авирулентному характеру вакцинныи штамм *Streptococcus* основан на мутанте $\Delta F o l T$, предложенном в настоящем документе, хорошо подходит для генерации специфических и продолжительных иммунных ответов. Также предоставлен способ борьбы или искоренения стрептококкового заболевания в популяции, включающий вакцинацию субъектов в популяции мутантной вакциной $\Delta F o l T$ согласно изобретению. В настоящем документе было указано, что *S. suis* имеет оперон, который играет важную роль в патогенезе и/или вирулентности *S. suis*. Оперон кодирует два гена, участвующих в получении фолата и превращении

фолата в тетрагидрофолат. Фолат — это общий термин для группы водорастворимых витаминов группы В, где фолат относится к различным производным тетрагидрофолата. Эти производные могут вступать в основной метаболический цикл фолата либо непосредственно, либо после 5 первоначального восстановления и метилирования до тетрагидрофолата. Фолат необходим всем живым организмам, как прокариотам, так и эукариотам, что делает метаболизм фолатов важнейшим процессом. Оперон *folT-folC*, по-видимому, образует путь получения фолата в условиях ограничения по фолату, как, например, *in vivo*, когда хозяин изолирует фолат для собственного 10 использования. В этих условиях экспрессия оперона *folT-folC* индуцируется рибопереключателем. Когда уровень фолата падает, тетрагидрофолат высвобождается из рибопереключателя, позволяя ему разворачиваться. Это позволяет инициировать трансляцию путем высвобождения сайта связывания 15 рибосомы. Экспрессия *folT-folC* позволяет *S. suis* импортировать фолат непосредственно с помощью комплекса транспортера фолата, и последующим превращением фолата в тетрагидрофолат с помощью *folC*. Поскольку фолат имеет решающее значение для синтеза нуклеотидов, получение фолата оказывает прямое влияние на скорость роста *S. suis*. Снижение темпов роста *in vivo* приводит к снижению вирулентности. Демонстрируя, что изогенные 20 нокаутные мутанты *folT*, такие как мутант, депонированный как CBS 140425 или как CBS 143192, значительно ослаблены и полезны в качестве вакцины, эта обнаружение было дополнительно подтверждено. Оперон действительно участвует в патогенезе *in vivo*. В настоящем изобретении в настоящее время предложены такие мутанты и культуры, а также композиции и вакцины, 25 содержащие такой нокаутный мутантный штамм *FolT*, обладающий сниженной вирулентностью. В настоящем изобретении также предложена иммуногенная композиция, содержащая бактерию, обладающую такой сниженной вирулентностью, и применение такой композиции для производства вакцины. Кроме того, в настоящем документе предложена вакцина, содержащая 30 бактериальный мутант *ΔFolT*, такой как мутант, депонированный как CBS 140425 или как CBS 143192, или его культуру, или их композицию. В настоящем изобретении также предложен набор для вакцинации животного, предпочтительно свиньи, против заболевания, связанного с инфекцией, вызванной *Streptococcus suis*, включающий: дозатор для введения вакцины

животному, предпочтительно свинье; и мутантный штамм Δ Fo T , такой как мутант, депонированный как CBS 140425 или как CBS 143192, согласно изобретению, или его культуру, или их композицию и, в некоторых случаях, листок-вкладыш с инструкцией. В заключение настоящее изобретение 5 предлагает общий способ снижения вирулентности бактерии, включающий снижение способности указанной бактерии транспортировать фолат, причем способ, в частности, применимый, когда указанная бактерия способна синтезировать фолат *de novo*. Способ согласно настоящему изобретению, предлагаемый в настоящем документе, включает отбор бактерии, имеющей 10 функциональный белок, связывающий субстрат фолата, и затем снижение экспрессии и/или функции белка, связывающего субстрат фолата (Fo T) в указанной бактерии, в частности, где указанная вирулентность снижается путем обеспечения мутации, делеции или вставки в гене *folT* указанной бактерии, например, путем обеспечения мутации, делеции или вставки в ДНК указанной 15 бактерии, кодирующей промотор гена *folT*. В некоторых вариантах осуществления изобретения предпочтительно снижать указанную вирулентность путем обеспечения мутации, делеции или вставки в ДНК указанной бактерии, кодирующей трансмембранный область белка Fo T , связывающего субстрат фолата. В другом конкретном варианте осуществления указанная вирулентность 20 снижается путем обеспечения мутации, делеции или вставки в области ДНК указанной бактерии, кодирующей Fo T , которая кодирует область, критическую для связывания субстрата. Кроме того, в настоящем документе предложен способ получения иммуногенной композиции или вакцины, который применим к бактерии, причем указанная бактерия представляет собой фирмикут, 25 предпочтительно *Streptococcus*, более предпочтительно *Streptococcus suis*, более предпочтительно мутант Δ Fo T , депонированный как «мутант *Streptococcus suis* Δ Fo T CBS 140425» в Centraal bureau voor Schimmelcultures 19 августа 2015 г., наиболее предпочтительно мутант Δ Fo T , депонированный как «мутант *Streptococcus suis* Δ Fo T 2 CBS 143192» в Westerdijk Fungal Biodiversity Institute 30 25 августа 2017 года. В настоящем изобретении также предложена бактерия со сниженной вирулентностью, которую можно получить или полученная способом снижения вирулентности путем снижения экспрессии Fo T согласно изобретению, и предлагает культуру такой бактерии и композицию, содержащую такую бактерию, обладающую сниженной вирулентностью, или культуру такой

бактерии, обладающей сниженной вирулентностью, и иммуногенную композицию, содержащую бактерию, обладающую сниженной вирулентностью, или культуру бактерии, обладающей сниженной вирулентностью, и предлагает использование культуры такой бактерии, обладающей сниженной экспрессией FolT, или композиции бактериальной культуры, имеющей сниженную экспрессию FolT для производства вакцины. В настоящем изобретении также предложена вакцина, содержащая бактерию, обладающую сниженной экспрессией FolT, или культуру бактерии, обладающую сниженной экспрессией FolT, или содержащую композицию культуры бактерии, обладающую сниженной экспрессией FolT. В настоящем изобретении также предложен набор для вакцинации животного от заболевания, вызванного инфекцией, связанной с конкретной бактерией, экспрессирующей FolT, включающий: а) дозатор для введения вакцины животному и б) изогенный нокаутный штамм (мутант) указанной конкретной бактерии, обладающей сниженной экспрессией FolT, или культуру изогенного нокаутного штамма указанной конкретной бактерии, обладающего сниженной экспрессией FolT, или композицию, содержащую культуру изогенного нокаутного штамма указанной конкретной бактерии, обладающего сниженной экспрессией FolT, и с) в некоторых случаях листок-вкладыш с инструкцией. Такая конкретная бактерия, согласно изобретению, обладающая сниженной экспрессией FolT и обладающая сниженной способностью транспортировать фолат, причем указанная способность была снижена путем функционального удаления функции транспортера фолата (FolT), в общем, имеет хорошие характеристики роста в культуральной среде, в частности когда используется мутант Δ FolT согласно изобретению, обладающий способностью синтезировать фолат; интактность этих путей синтеза не влияет на способность к росту *in vitro* (в культуре), однако значительное снижение его вирулентности у хозяина (*in vivo*) делает его очень подходящим для использования в вакцине.

ОПИСАНИЕ ГРАФИЧЕСКИХ МАТЕРИАЛОВ

ФИГ. 1. В[10] изображает клон, который был идентифицирован с использованием стратегии комплементации, содержащей две неполные ORF (серовато-синие стрелки) и предполагаемый оперон (фиолетовый), содержащий *orf2*[10] и *folC*[10], которому предшествует предполагаемый промотор оперона (для разъяснение на схеме изображена только последовательность области -35

(TGGACA) предполагаемого промотора). Были созданы конструкты, которые содержали либо *orf2*[10], либо *folC*[10] (фиолетовый), которым предшествовала предполагаемая область -35 предполагаемой промоторной области оперона (фиолетовый). Был получен конструкт, содержащий *orf2* из штамма S735 5 (зеленый) с областью -35 предполагаемого промотора S735 (TGGTCA) (зеленый). Тот же конструкт был подвергнут мутагенезу, чтобы содержать область -35 предполагаемой последовательности промотора штамма 10 (TGGACA) (фиолетовый) с образованием *orf2*[S735] [t488a].

ФИГ. 2. *In vitro* транскрипция/трансляция *FolC* и *ORF2/FolT*. *In vitro* 10 транскрипция/трансляция контрольного конструкта pCOM1 (полоса 1), и конструктов pCOM1-V[10] (полоса 2) и pCOM1-folC[10] (полоса 3). Маркер молекулярной массы указан в кДа справа. Экспрессия *FolC* была обнаружена при ожидаемой массе 46,8 кДа (закрашенная стрелка), тогда как экспрессия OR2/FolT была обнаружена при более низкой молекулярной массе, чем 15 ожидалось, 14 кДа (20,5 кДа) (незакрашенная стрелка).

ФИГ. 3. Предполагаемый рибопереключатель для тетрагидрофолата с использованием *Rfam*. Трехмерное структурирование РНК предполагает наличие рибопереключателя, в котором два предполагаемых рибосомных сайта связывания (синие стрелки) недоступны для рибосом из-за фолдинга.

ФИГ. 4. Clustal W выравнивание нескольких последовательностей FolT.* 20 указывает идентичные аминокислоты, указывает на консервативность между группами значительно схожих свойств, указывает на консервативность между группами незначительно схожих свойств. CB = *Clostridium bolteae*, CP = *Clostridium phytofermentans*, AM = *Alkaliphilus metallireducens*, TT = *Thermoanaerobacter tengcongensis*, EFM = *Enterococcus faecium*, EFS = *Enterococcus faecalis*, LB = *Lactobacillus brevis*, SM = *Streptococcus mutans*, SG = *Streptococcus galolyticus*, SUB = *Streptococcus uberis*, SSU = *Streptococcus suis* 25 P1/7.

Красным цветом обозначены малые и гидрофобные аминокислоты (в том 30 числе ароматические -Тир), синим обозначены кислые аминокислоты, пурпурным обозначены основные аминокислоты, а зеленым обозначены гидроксил, сульфидрил, амин и Gly.

ФИГ. 5. Метаболизм фолата у *Streptococcus suis*. Схематическое изображение предполагаемого метаболизма фолата у *S. suis*.

ФИГ. 6. Уровни экспрессии *orf2* и *folC* у изолятов и мутантов *S. suis* дикого типа. Уровень экспрессии *orf2* и *folC* у изолятов *S. suis* дикого типа штамма 10 (черные столбцы) и S735 (белые столбцы), выросших экспоненциально в бульоне Тодда-Гевитта (панель А), и у штамма S735 с введенной пустой 5 контрольной плазмидой pCOM1 (черные столбцы), с *orf2*[10] (белые столбцы) или с *orf2*[S735] (заштрихованные столбцы), выросшего экспоненциально на бульоне Тодда-Гевитта (панель В). Уровень экспрессии *orf2* у S735 с 10 введенными *orf2*[10], *orf2*[S735] и *orf2*[S735] [t488a] после выращивания в бульоне Тодда-Гевитта до ранней экспоненциальной фазы (EEP) (белые столбцы), экспоненциальной фазы (EP) (малые заштрихованные столбцы), поздней экспоненциальной фазы (LEP) (большие заштрихованные столбцы) и 15 стационарной фазы (SP) (черные столбцы) (панель С). Уровни экспрессии были определены с использованием количественной ПЦР и выражены как относительная экспрессия к конститутивному гену *recA*. Эксперименты проводились в трех повторностях, столбцы ошибок указывают стандартную ошибку среднего. Значимость определяли по парным t-тестами. * p <0,05; ** p <0,01.

ФИГ. 7. Прогнозируемая 3-мерная структура для белка FolT *S. suis*.

ФИГ. 8. Температура тела поросят после заражения *S. suis*, эксперимент 1.

20 Изображены усредненные температуры тела поросят (n = 5), зараженных штаммом дикого типа 10 (розовым цветом) или штаммом 10Δ*folT* (CBS 140425). Столбцы ошибок указывают стандартную ошибку среднего.

ФИГ. 9. Бактериемия поросят после заражения *S. suis*, эксперимент 1.

25 Изображены усредненные показатели бактериемии поросят (n = 5), зараженных штаммом дикого типа 10 (розовым цветом) или штаммом 10Δ*folT* (CBS 140425) (голубым цветом). Столбцы ошибок указывают стандартную ошибку среднего.

ФИГ. 10. Кривые выживания свиней, зараженных *S. suis*, эксперимент 1.

Свиньи были заражены либо штаммом дикого типа 10, либо штаммом 10Δ*folT* (CBS 140425). Свиньи были умерщвлены, когда они достигли предопределенных 30 гуманных конечных точек эксперимента по этическим причинам. Статистический анализ был выполнен с использованием Log-рангового критерия (Кокса-Мантеля).

ФИГ. 11. Бактериологическое исследование поросят, зараженных *S. suis*.

Эксперимент 1. Свиньи были заражены либо штаммом дикого типа 10, либо

штаммом $10\Delta folT$ (CBS 140425), бактерии были подсчитаны путем серийного разведения и посева. Количество бактерий рассчитывали как КОЕ/мл. Разными цветами обозначены разные отдельные пороссята.

ФИГ. 12. Кривые выживания поросят, зараженных *S. suis*, эксперимент 2.

5 Поросята ($n=10$) были заражены либо штаммом дикого типа 10, либо штаммом $10\Delta folT$ (CBS 140425). Свиньи были умерщвлены, когда они достигли предопределенных гуманных конечных точек эксперимента по этическим причинам.

ФИГ. 13. Температура тела поросят после заражения *S. suis*, эксперимент 2.

10 Изображены усредненные температуры тела поросят ($n = 10$), зараженных штаммом дикого типа 10 (голубым цветом) или штаммом $10\Delta folT$ (CBS 140425) (зеленым цветом).

ФИГ. 14. Локомоция поросят после заражения *S. suis*, эксперимент 2.

15 Показан процент положительных наблюдений у поросят, зараженных штаммом дикого типа 10 (голубым цветом) или штаммом $10\Delta folT$ (CBS 140425). Тяжесть локомоции: 1 - легкая хромота, 2 - умеренная хромота или отказ стоять, 3 - тяжелая хромота (выступает в качестве гуманной конечной точкой эксперимента).

ФИГ. 15. Осознанность поросят после заражения *S. suis*, эксперимент 2.

20 Показан процент положительных наблюдений у поросят, зараженных штаммом дикого типа 10 (голубым цветом) или штаммом $10\Delta folT$ (CBS 140425).

Выраженность осознанности: 1: депрессия, 2: апатия, 3: кома.

ФИГ. 16. Вакцинация свиней штаммом $\Delta FolT$ 2 (CBS 143192) и защита после заражения с *S. suis* тип 2. Свиньи были вакцинированы в день 1 и 21

25 штаммом $\Delta FolT$ 2 (CBS 143192). На 35-й день животных заражали внутрибрюшинно (*ip*) вирулентным изолятом *S. suis* типа 2 в количестве примерно 2×10^9 КОЕ. В течение семи дней после заражения животных осматривали на признаки заболевания, вызванного *S. suis*. Животных, найденных мертвыми или которые должны были быть подвергнуты эвтаназии перед выбыванием из испытания по причинам, связанным с благополучием животных, подвергали вскрытию. На фигуре показан процент животных, которые умерли или были умерщвлены после заражения (смертность).

ФИГ. 17. Вакцинация свиней штаммом $\Delta FolT$ (CSB140425) и защита после заражения с *S. suis* тип 2. Свиньи были вакцинированы в день 1 и 21 $\Delta FolT$

штаммом (CBS 140425). На 36-й день животных заражали внутрибрюшинно (*ip*) вирулентным изолятом *S. suis* типа 2 в количестве примерно 2×10^9 КОЕ. В течение семи дней после заражения животных осматривали на признаки заболевания, вызванного *S. suis*. Животных, найденных мертвыми или которые должны были быть подвергнуты эвтаназии перед выбыванием из испытания по причинам, связанным с благополучием животных, подвергали вскрытию. На 5 фигурае показан процент животных, которые умерли или были умерщвлены после заражения (смертность).

ПОДРОБНОЕ ОПИСАНИЕ ИЗОБРЕТЕНИЯ.

10 Область применения.

Ранее мы использовали стратегию комплементации для выявления новых факторов вирулентности, которые могут служить кандидатами для вакцины. Используя эту стратегию, был создан гипервирулентный изолят *S. suis* (S735-pCOM1-V[10]), который вызывает тяжелый токсический шокоподобный синдром 15 у поросят после инфекции, приводящий к смерти в течение 24 часов после заражения [14]. S735-pCOM1-V[10] был выбран из библиотеки клонов, полученных из слабовирулентного изолята (S735) серотипа 2, после трансформации плазмидной ДНК, выделенной из примерно 30000 объединенных 20 клонов, несущих случайно клонированные фрагменты геномной ДНК из вирулентного изолята серотипа 2 (штамм 10). Изоляты с повышенной вирулентностью отбирали путем инфицирования поросят штаммом S735, содержащим плазмидную библиотеку геномных фрагментов из штамма 10. Один преобладающий клон, выделенный из зараженных поросят, содержал геномный фрагмент размером 3 т.п.н. из штамма 10, обозначенного V[10], и в 25 последующих экспериментах на животных было продемонстрировано, что он является гипервирулентным. V[10] содержал неполную открытую рамку считывания (ORF), с последующими двумя генами (*orf2* и *folC*) в структуре оперона, а также вторая неполная ORF. Предполагая, что только полноразмерные ORF могут способствовать гипервирулентности этого изолята, 30 мы дополнительно охарактеризовали *orf2-folC*-оперон. Первая ORF в опероне не может быть аннотирована и обозначена как *orf2*, вторая ORF в опероне показала гомологию с геном, кодирующими полифолилполиглутаматсинтазу (*FolC*). Этот оперон присутствовал во всех серотипах *S. suis*, включая родительский штамм S735. Штамм S735 с низкой вирулентностью содержал несколько

однонуклеотидных полиморфизмов (SNP) в *orf2-folC* и некодирующих областях по сравнению со штаммом 10. Оба гена оперона, которые повышают вирулентность, могут быть предполагаемыми факторами вирулентности и, если это так, могут быть предполагаемыми кандидатами для вакцины. Мы исследовали 1) вызвана ли гипервирулентность *orf2-folC*-оперона *orf2* или *folC*, или обоими, и 2) влияет ли однонуклеотидный полиморфизм в промоторной области *orf2-folC*-оперона на вирулентность.

МАТЕРИАЛЫ И МЕТОДЫ

Бактериальные штаммы и плазмиды

10 *S. suis* изоляты выращивали в бульоне Тодда-Гевитта (Оксфорд, Лондон, Великобритания) и высевали на чашки с колумбийским кровяным агаром (Оксфорд), содержащим 6 % (об./об.) крови лошади. *Escherichia coli* выращивали в бульоне Лурия и высевали на чашки с бульоном Лурия, содержащим 1,5 % (мас./об.) агара. При необходимости добавляли эритомицин в количестве 1 мкг мл^{-1} для *S. suis* и в количестве 200 мкг мл^{-1} для *E. coli*. Штамм *S. suis* S735 с 15 введенной плазмидой, содержащей геномный фрагмент размером 3 т.п.н., полученный из штамма 10 (S735-pCOM1-V[10]), и другой штамм *S. suis*, используемые в этом исследовании, были ранее описаны [14] (ФИГ. 1).

Пример 1. Комплементация штамма *S. suis* S735.

20 В штамм S735 была введена плазмида pCOM1, содержащая одну из двух ORF в опероне V[10] (т.е. *orf2*[10] или *folC*[10]), которым предшествовала предполагаемая промоторная область оперона из штамма 10 или плазмида pCOM1, содержащая *orf2*, и родственный промотор из штамма S735 (*orf2*[S735]), расположенный в обратном направлении (ФИГ. 1). Для конструирования этих 25 плазмид были разработаны праймеры с сайтами рестрикции для амплификации *orf2*[10] или *orf2*[S735] (comE1 – comE2), *folC*[10] (comE4 – comE6) или область промотора оперона (comE1 – comE3) (Таблица 1). Полученные продукты ПЦР *orf2*[10] и *orf2*[S735] были разрезаны с использованием ферментов рестрикции SacI и BamHI, клонированы в pKUN19 [15], и разрезаны теми же ферментами 30 рестрикции с последующим клонированием в pCOM1, с получением pCOM1-*orf2*[10] и pCOM1-*orf2*[S735], соответственно. ПЦР-ампликон *folC*[10] был разрезан с использованием ферментов рестрикции SmaI и BamHI и клонирован в pKUN19, разрезанную с помощью тех же ферментов рестрикции. Продукт ПЦР, содержащий промоторную область V[10], был клонирован перед *folC*[10]

используя ферменты рестрикции SacI и SmaI. Впоследствии полный фрагмент промотора V[10] – *folC*[10] был вырезан из pKUN19 с помощью SacI и BamHI и клонирован в pCOM1 разрезанную теми же ферментами рестрикции, с получением pCOM1-*folC*[10]. Чтобы подтвердить, что продукт слияния промотора-*folC*[10] транскрибировали, транскрипцию/трансляцию *in vitro* проводили с использованием 35 S-метионина. Был обнаружен четкий бэнд молекулярной массы *FolC* (46,8 кДа), что демонстрирует, что продукт слияния может быть экспрессирован и транслирован (ФИГ. 2). Все плазмиды вводили в штамм *S. suis* S735 путем электропорации. К тому же, pCOM1-V[10] ввели в 10 авирулентный штамм T15 серотипа 2 путем электропорации с получением T15-pCOM1-V[10].

Пример 2. Экспериментальное заражение трансфицированными изолятами.

Экспериментальное заражение поросят-гнотобионтов, рожденных с помощью кесарева сечения, проводили, как описано ранее [14]. До заражения подтверждался статус гнотобионтов поросят путем посева мазков с миндалин на чашки с колумбийским кровяным агаром, содержащим 6 % лошадиной крови. Кратко, 4 или 5 однодневных свиней-гнотобионтов были заражены внутривенно 10^6 колониеобразующими единицами (КОЕ) *S. suis*, а затем им немедленно перорально вводили 40 мг kg^{-1} массы тела эритомицина (эритомицин-стеарат, Эбботт Б.В., Амстердам, Нидерланды) два раза в день, чтобы поддерживать избирательное давление на изоляты *S. suis*, несущие плазмиды pCOM. Зараженных свиней подвергали мониторингу два раза в день на предмет клинических признаков и брали мазки с миндалин для бактериологического анализа. Свиньи подвергались эвтаназии, когда у них наблюдались клинические признаки артрита, менингита или сепсиса после заражения *S. suis*. Образцы тканей ЦНС, серозной оболочки и суставов собирали во время вскрытия, гомогенизировали и определяли количество бактериальных клеток путем посева серийных разведений на чашки с колумбийским кровяным агаром, содержащим 6 % лошадиной крови и 1 мкг ml^{-1} эритомицина. Чтобы иметь возможность сравнивать результаты различных экспериментов на животных, включенных в данный документ, для всех экспериментов на животных применяли равномерную оценку неспецифических и специфических симптомов. Неспецифические симптомы включали в себя отсутствие аппетита и депрессию, которые были оценены как 0 (нет), как 0,5 (умеренное отсутствие

аппетита/ депрессия) или как 1 (сильное отсутствие аппетита/ депрессия).

Специфические симптомы включали хромоту, симптомы центральной нервной системы (ЦНС) (двигательные расстройства, такие как езда на велосипеде или хождение по кругу; опистотонус; нистагм), а также приподнятые волосы,

5 выгнутую спину (кифоз) и дрожь, поскольку все это симптомы сепсиса или серозита. На основании этих осмотров были рассчитаны клинические показатели путем деления числа осмотров, в которых наблюдалась специфические или неспецифические симптомы, на общее количество осмотров по этому параметру. Этот параметр представляет собой процент осмотров, в которых наблюдалась 10 специфические или неспецифические симптомы. Аналогичный подход был принят для показателя «Индекса лихорадки». Лихорадка определялась как температура тела $> 40^{\circ}\text{C}$. Показатель «Среднее количество дней до смерти» использовалось в качестве параметра выживания. Хотя животные были 15 умерщвлены после достижения гуманных конечных точек эксперимента (НЕР), время между заражением и достижением НЕР все еще свидетельствует о степени тяжести инфекции. Он рассчитывается путем усреднения показателя выживания в днях от заражения до смерти.

Эксперименты на животных со штаммом CBS 140425 проводились в помещениях Центрального ветеринарного института Вагенингена УР, Лелистад,

20 Нидерланды (ныне Биоветеринарных исследований Вагенингена (WBVR)) и были одобрены этическим комитетом Центрального ветеринарного института Вагенингена УР, Лелистад, Нидерланды, в соответствии с голландским законом об экспериментах на животных (№ 809.47126.04/00/01 и № 870.47126.04/01/01). Эксперименты на животных со штаммами CBS 140425 и 143192 были также 25 выполнены в соответствии с законом США об экспериментах на животных.

Статистический анализ был выполнен по клиническим показателям групп (индекс лихорадки, специфические симптомы и неспецифические симптомы) с использованием непараметрического критерия Краскела-Уоллиса, поскольку не было однородности дисперсии между группами. В последующих анализах все 30 группы сравнивали попарно с контрольной группой (S735-pCOM1) по всем трем параметрам, используя U-тесты Манна-Уитни. Различия считались статистически значимыми при $p < 0,05$. Расчеты были выполнены с использованием SPSS 19 (ИВМ, Нью-Йорк, США).

Пример 3. Экспериментальное заражение штаммом 10ΔfolT (CBS 140425),
эксперимент 1.

Десять четырехнедельных поросят содержали в помещении для животных CVI в двух группах по пять животных. Поросята имели свободный доступ к 5 корму и пресной воде. В течение всего эксперимента животные получали тепло и игровой материал. Перед началом эксперимента мазки с миндалин у поросят подвергали скринингу с помощью ПЦР на колонизацию *S. suis* серотипа 2. Только ПЦР-отрицательные поросята были включены в эксперимент. Через десять дней животные были заражены внутривенно штаммом дикого типа 10 в 10 количестве $1,1 \cdot 10^6$ КОЕ или мутантным штаммом 10ΔfolT в количестве $9,2 \cdot 10^5$ КОЕ в яремную вену. До заражения показатели базальной температуры у поросят ежедневно контролировали в течение трех дней. Кровь с ЭДТА собирали до заражения, чтобы получить образцы плазмы перед заражением, а также базальные уровни лейкоцитов (WBC). Зараженные свиньи подвергались 15 мониторингу по клиническим признакам три раза в день в 20:00, 3:00 и 9:00. К неспецифическим симптомам относились отсутствие аппетита и депрессия, в то время как специфические симптомы включали хромоту, симптомы центральной нервной системы (ЦНС) (двигательные расстройства, такие как езда на велосипеде или хождение по кругу; опистотонус; нистагм), а также приподнятые 20 волосы, выгнутую спину (кифоз) и дрожь, поскольку все это симптомы сепсиса или серозита. Собирали мазки с миндалин и фекальные мазки ежедневно для бактериологического анализа. Кровь собирали ежедневно для бактериологического анализа, подсчета лейкоцитов и сбора плазмы. Свиньи 25 подвергались эвтаназии, когда у них наблюдались клинические признаки артрита, менингита или сепсиса после заражения *S. suis*. При вскрытии внутренние органы (почки, печень, селезенка, брюшина и перикард) подвергали бактериологическому скринингу на *S. suis* путем посева на чашки с 30 колумбийским кровяным агаром, содержащим 6 % лошадиной крови. Органы, которые были макроскопически затронуты *S. suis*, например, гнойные суставы, перикардит или перитонит, высевали в серийном разведении для определения бактериальной нагрузки. Образцы тканей этих органов фиксировали в формалине для гистологического исследования. Эксперимент на животных был одобрен этическим комитетом Центрального ветеринарного института

Вагенингена УР, Лелистад, Нидерланды, в соответствии с голландским законом об экспериментах на животных (#2014011).

Пример 4. Экспериментальное заражение штаммом 10ΔfolT (CBS 140425), эксперимент 2.

5 Во втором эксперименте использовались поросыта коммерческой породы в возрасте примерно 3 недели. Поросыта не были вакцинированы против *S. suis*, были получены из PRRSV-отрицательного стада, никогда не получали лекарственного корма и при регистрации имели отрицательный мазок с миндалин на *S. suis* серотипа 2 с помощью ПЦР. Обрабатываемые группы (по 10 поросят в каждой) содержались отдельно. Животные были заражены внутривенно 3,48E+07 КОЕ штамма дикого типа 10 или 1,45E+07 мутантного штамма 10ΔfolT. Животных осматривали один раз в день на наличие клинических признаков заболевания, ассоциированного с *S. suis* (например, повышение температуры тела, хромота и изменения в поведении) в течение 7 дней. Любые животные, имеющие клинические признаки, которые достигли гуманных конечных точек эксперимента (например, симптомы ЦНС, изнурительная хромота), были умерщвлены, чтобы минимизировать страдания. Усыпленных животных вскрывали для выявления поражений, типично связанных с заболеванием, вызванным *S. suis*. Животные, дожившие до конца 15 периода наблюдения, были также умерщвлены и вскрыты.

20 Пример 5а. Вакцинация свиней штаммом ΔFolT2 (CBS 143192) и защита после заражения *S. suis* типа 2. Исследование проводилось на свиньях коммерческой породы; в день первой вакцинации свиньи были в возрасте 21 ± 7 дней. Животные, которых не вакцинировали против *S. suis*, с отрицательными мазками с миндалин на *S. suis* типа 2 по ПЦР, PRRSV-отрицательные по 25 серологии, были потомством свиноматок, у которых мазок с миндалин был отрицательным на *S. suis* типа 2 по ПЦР. Группы исследования, пути и дозы вакцинации, дни вакцинации, а также день и путь заражения указаны в Таблице 6. Используемые среды описаны в Таблице 7.

30 На 34-й день у всех животных были собраны мазки крови и мазки с миндалин, а затем животные строгого контроля были перемещены в отдельное помещение с отдельной подачей воздуха, в то время как все другие группы были объединены. На 35-й день животных заражали внутрибрюшинно (*ip*) вирулентным изолятом *S. suis* типа 2 в количестве примерно 2x10⁹ КОЕ.

В течение семи дней после заражения животных осматривали на признаки заболевания, вызванного *S. suis*. Животных, найденных мертвыми или которые должны были быть подвергнуты эвтаназии перед выбыванием из испытания по причинам, связанным с благополучием животных, подвергали вскрытию. Во время вскрытия животных оценивали по макроскопическим признакам, обычно связанным с заболеванием, вызванным *S. suis* и ЦНС (то есть мозг), и собирали образцы суставов. Выбывшие из испытания все оставшиеся животные были умерщвлены, вскрыты и образцы были собраны.

Приготовление вакцин и плацебо указаны в Таблице 7.

Приготовление контрольного материала указано в Таблице 8.

Вакцинация мутантом *S. suis ΔFolT* снизила количество животных, которые умерли или должны были быть подвергнуты эвтаназии по соображениям благополучия животных в течение периода наблюдения после заражения (см. Таблицу 9 и Фигуру 16). Кроме того, вакцинация *ΔFolT* уменьшила проявления тяжелой хромоты (то есть количества животных, которые не могут стоять или не хотят стоять), а также проявление апатии, при которой животные проявляли очень ограниченный интерес к окружающей среде (см. Таблицы 10 и 11).

Во время вскрытия признаки воспаления в головном мозге, на которые указывает присутствие фибрина и/или жидкости, реже наблюдались у животных, вакцинированных *ΔFolT*, по сравнению с отрицательными контролями (см. Таблицу 12).

Изолят заражения *S. suis* реже обнаруживали в образцах головного мозга и суставов, собранных при вскрытии у животных, вакцинированных штаммом *ΔFolT*, по сравнению с отрицательными контролями (см. Таблицы 13 и 14).

Пример 5б. Вакцинация свиней штаммом 10 Δ folT (CBS 140425) и защита после заражения *S. suis* тип 2.

Исследование проводилось на свиньях коммерческой породы, в возрасте 21 +/- 5 дней на день первой вакцинации. Животные, которых не вакцинировали против *S. suis*, с отрицательными мазками с миндалин на *S. suis* типа 2 по ПЦР, PRRSV-отрицательные по серологии, были потомством свиноматок, у которых мазок с миндалин был отрицательным на *S. suis* типа 2 по ПЦР. Группы исследования, количество животных/группа на момент начала исследования, доза вакцинации, дни вакцинации, путь вакцинации, день заражения и путь заражения указаны в Таблице 15.

На 35-й день у всех животных были собраны мазки крови и мазки с миндалин, а животных строгого контроля умерщвляли. На 36-й день животных заражали внутрибрюшинно (ip) вирулентным изолятом *S. suis* типа 2 в количестве примерно 2×10^9 КОЕ.

5 В течение семи дней после заражения животных осматривали на признаки заболевания, вызванного *S. suis*. Животных, найденных мертвыми или которые должны были быть подвергнуты эвтаназии перед выбыванием из испытания по причинам, связанным с благополучием животных, подвергали вскрытию. Во время вскрытия животных оценивали по макроскопическим признакам, обычно связанным с заболеванием, вызванным *S. suis*, и собирали образцы ЦНС.
10 Выбывшие из испытания все оставшиеся животные были умерщвлены, вскрыты и образцы были собраны.

Приготовление вакцины и плацебо указаны в Таблице 16. Приготовление зараженного материала указано в Таблице 17.

15 Мутант *S. suis* FolT уменьшал количество животных, проявляющих хромоту после заражения, количество животных, проявляющих ненормальное поведение (т.е. депрессию, кому) после заражения, а также количество животных, которые умерли или должны были быть подвергнуты эвтаназии по причинам благополучия животных в период наблюдения после заражения (см. Таблицу 18,
20 19 и 20 и Фигуру 17).

У выбывших из испытания (т.е. на 7-й день после заражения или после удаления из исследования в связи со смертью или эвтаназией) животных были обнаружены отклонения от нормы в мозге (например, фибрин, жидкость), а также в грудной полости (например, фибрин, жидкость, застой в легких, 25 пневмония). Кроме того, были собраны образцы мозга для восстановления *S. suis*. Результаты указаны в Таблицах 21, 22 и 23.

Пример 6. Синтез кДНК и количественная ПЦР.
ПЦР-РВ.

Двести нг РНК использовали для синтеза кДНК в реакции, содержащей 25 нг·мкл⁻¹ случайных праймеров (Promega, Мэдисон, Висконсин, США), 10 мМ дНТФ (Promega), 10 мМ ДТТ (Invitrogen), 40 единиц ингибитора РНКазы RNAsin (Promega) и обратной транскриптазы SuperScriptII (Invitrogen) в соответствии с инструкциями производителя.

Количественная ПЦР.

кДНК разводили в 20 раз для анализа количественной ПЦР. Праймеры были разработаны с использованием программного обеспечения PrimerExpress (Прикладные биосистемы, Фостер Сити, Калифорния, США) (Таблица 1).

5 Каждая реакция содержала 12,5 пмоль прямого праймера, 12,5 пмоль обратного праймера и мастер микс для ПЦР POWER SYBR Green (Прикладные биосистемы) в соответствии с инструкциями производителя. Количественная ПЦР была выполнена с использованием ABI7500 (Прикладные биосистемы). Программное обеспечение GeNorm (GeNorm) использовалось для определения 10 наиболее стабильно экспрессируемых референсных генов. Для *S. suis recA* был наименее вариабельным по экспрессии 6 потенциальных референсных генов (фосфогелициератдегидрогеназы (*pgd*), ацетил-коА ацетилтрансферазы (*aca*), *tutS*, глутаматдегидрогеназы (*gdh*), которые были протестированы. GeNorm объединяет данные экспрессии в показатель, представляющий стабильность 15 экспрессии, где 1 представляет наиболее стабильный ген. Показатели стабильности для *S. suis* варьировались от 1,667 для *gdh* до 1,217 для *recA*. Уровень экспрессии этих референсных генов измеряли, чтобы контролировать изменения выхода РНК и условия РВ-реакции. В каждый цикл количественной ПЦР вводили калибровочную кривую, состоящую из вектора, содержащего 20 клонированный продукт ПЦР гена-мишени этой реакции. Калибровочная кривая состояла из семи 10-кратных разведений контрольного вектора. Таким образом, как уровень экспрессии целевого гена, так и уровни экспрессии внешних референсных генов можно рассчитать по калибровочной кривой. Для каждой реакции вода была включена вместо кДНК или матрицы в качестве 25 отрицательного контроля. Анализ проводился с использованием программного обеспечения ABI7500 (Прикладные биосистемы).

Анализ последовательности.

Реакции последовательностей и анализ были выполнены с помощью Baseclear (Лейден, Нидерланды).

30 Пример 7. Сайт-направленный мутагенез.

Сайт-направленный мутагенез был достигнут с использованием набора сайт-направленного мутагенеза Quick-change II (Agilent Technologies, Ладжолла, Калифорния, США) в соответствии с инструкциями производителя. Праймеры для ПЦР были разработаны с помощью прилагаемого программного

обеспечения (Agilent Technologies) (Таблица 1). Используя праймеры t448a и t488a_анти смысловой, была амплифицирована плазмида pCOM-orf2[S735], в которую ввели желаемую мутацию, которая заменила область -35 предполагаемой промоторной области *orf2-folC*-оперона S735 от 5'-TGGTCA-3' до 5'-TGGACA-3' (ФИГ. 1). Реакционную смесь разрезали с использованием DpnI для инактивации исходного матричного вектора и затем трансформировали в компетентные клетки XL-1-blue (Invitrogen). Чтобы исключить возможность внесения ошибок ПЦР в основную цепь вектора, вставка плазмиды (*orf2*[S735]) была выделена из матричного вектора после разрезания рестрикционными ферментами BamHI и SacI и клонирована в pCOM1, разрезанную теми же рестриктазами. Полученную плазмиду вводили в изолят *S. suis* S735 путем электропорации и отбирали трансформантов на колумбийском кровяном агаре, содержащем 1 мкг мл⁻¹ эритомицина, с получением S735-pCOM1-*orf2* [S735] [t488a]. Секвенирование использовали для исключения присутствия ошибок ПЦР в конечном конструкте.

Пример 8. Конструирование белка, связывающего субстрат фолата (*folT*), нокаутного мутанта *S. suis*.

Изогенный *folT* нокаутный мутант был сконструирован из штамма 10 путем разрушения *folT* кассетой устойчивости к спектиномицину. pCOM1-V[10] [14] разрезали BamHI и лигировали в разрезанную BamHI плазмиду pKUN, получая pKUN-V[10]. Чтобы удалить 3'-часть V[10], pKUN-V[10] разрезали SphI, после чего фрагмент вектора очищали и лигировали, получая pKUN-V[10]*. pKUN-V [10]* частично разрезали XmnI, фрагмент линейного вектора очищали и лигировали с помощью кассеты устойчивости к спектиномицину с тупым концом, получая pKUN-V [10]* - Spec^R. Для конструирования мутанта V[10]*-Spec^R амплифицировали с помощью ПЦР с использованием V735-fw и M13-rev. Продукт ПЦР очищали с использованием набора для очистки ПЦР (Qiagen). Очищенный продукт ПЦР был использован для трансформации штамма *S. suis* 10 используя ComS в качестве индуктора компетенции, как описали Заккария и др. [16] для индукции гомологичной рекомбинации. Трансформантов отбирали на чашках с колумбийским кровяным агаром, содержащим 6 % (об./об.) крови лошади и 100 мкг мл⁻¹ спектиномицина. Двойные кроссинговеры были проверены с помощью ПЦР и подтверждены с помощью Саузерн-блоттинга. Чтобы исключить возможность введения точечных мутаций, хромосомную ДНК

изогенного нокаутного мутанта выделяли и трансформировали в штамм 10. Снова отбирали мутантов на чашках с колумбийским кровяным агаром, содержащим 6 % (об./об.) крови лошади и 100 мкг мл⁻¹ спектиномицина, и проводили скрининг с помощью ПЦР, с получением штамма 10ΔfolT. Этот 5 прототип рекомбинантного мутантного штамма ΔfolT был депонирован как «мутант *Streptococcus suis* ΔfolT CBS 140425» в Centraalbureau voor Schimmelcultures для целей патентной процедуры в соответствии с Регламентом Будапештского договора от 19 августа 2015 г.

10 Пример 9. Делеционные мутанты ΔfolT, не содержащие ген устойчивости к спектиномицину.

Также был сконструирован делеционный мутант ΔfolT, не содержащий гена 15 устойчивости к спектиномицину. Для этого использовали термочувствительный членочный вектор pSET5s (Такамацу Д., Осаки М. и Секидзаки Т. 2001 г. Плазмиды 46: 140-148). Плазмида pSET5s содержит чувствительную к температуре область репликации и может репродуцироваться при 37 °C в *E. coli*, но репликация плазмида блокируется выше 37 °C в *S. suis* (Такамацу и др.). pSET5s содержит ген устойчивости к хлорамфениколу (Cm), который может быть использован для отбора трансформантов среди *E. coli*, а также среди *S. suis*. Прототип рекомбинантного ΔfolT мутантного штамма, не содержащего ген 20 устойчивости к спектиномицину, был депонирован как «мутант *Streptococcus suis* ΔfolT2 CBS 143192» в Westerdijk Fungal Biodiversity Institute для целей патентной процедуры в соответствии с Регламентом Будапештского договора от 25 августа 2017 г.

Чтобы сконструировать мутантный изолят ΔfolT был создан продукт ПЦР, 25 содержащий 5'- и 3'- фланкирующие последовательности folT гена. Этот фрагмент клонировали в pSET5s и Cm-устойчивых трансформантов отбирали при 37 °C среди *E. coli*. Затем из *E. coli* была выделена плазмида и введена в штамм *S. suis* 10. Трансформантов отбирали на чашках с колумбийским кровяным агаром при 30 °C, содержащих Cm. Трансформированную колонию 30 использовали для инокуляции 1 мл бульона Тодда-Гевитта (THB), содержащего Cm, и выращивали культуру в течение ночи при 30 °C. Ночную культуру разводили в 100 раз в той же среде и инкубировали, как указано выше, до достижения оптической плотности 0,2-0,3 при 600 нм, при которой культуру переносили на 38 °C. При этой температуре плазмида не способна

реплицироваться. На этом этапе выбирают штаммы, в которых плазмида интегрирована в хромосому посредством одного явления рекомбинации. Серийные разведения этой культуры высевали на чашки с колумбийским кровяным агаром с лошадиной кровью, содержащим Ст. Чашки инкубировали в 5 течение ночи при 38 °С. Колонию, содержащую рекомбинантную плазмиду, интегрированную в хромосому, отбирали и инокулировали в 1 мл бульона Тодда-Гевитта (ТНВ) с Ст для инкубации в течение ночи при 38 °С. Для пяти последующих пассажей культуру разводили в 100 раз бульоном ТНВ без Ст и выращивали при 28 °С. При этой температуре плазмида способна 10 реплицироваться и вырезается из хромосомы во втором явлении рекомбинации при дупликации последовательности гена-мишени. Удаление плазмиды может привести к генотипу дикого типа или к получению делеционного мутанта *folT*. Серийные разведения культуры высевали на чашки с колумбийским кровяным агаром с лошадиной кровью (без Ст) и инкубировали в течение ночи при 38 °С. 15 Одиночные колонии затем наносили репликами на чашки колумбийским кровяным агаром с лошадиной кровью с Ст и без него. Ст-чувствительные колонии подвергали скринингу с помощью ПЦР для выявления $\Delta folT$ мутантных изолятов, не содержащих ген устойчивости к спектиномицину.

Исследования гибридизации.

Хромосомная ДНК была выделена из неподвижно выращиваемых культур *S. suis*. Двести нанограмм очищенной ДНК были нанесены на Genescreen-Plus (Перкин Элмер, США). Введение метки ^{32}P в зонды, гибридизацию и отмывку проводили, как описано ранее [17]. ПЦР-продукты *folT* и *folC* были использованы в качестве зонда, тогда как зонд 16S рРНК использовали в 25 качестве положительного контроля.

Сверхэкспрессии *folT* достаточно, чтобы индуцировать гипервирулентность штамма S735.

Введение 3 т.п.н. геномных фрагментов вирулентного штамма 10 серотипа 2, V[10], повысило вирулентность слабовирулентного штамма S735 серотипа 2 30 [14], с созданием гипервирулентного изолятта (S735-pCOM1-V[10]). Все свиньи, зараженные S735-pCOM1-V[10], умерли в течение 1 дня после заражения (п.з.), и высокий процент свиней показал тяжелые клинические признаки заболевания (Таблица 2), тогда как почти все свиньи, зараженные контрольным штаммом S735-pCOM1, выжили во время эксперимента. Клинические показатели

значительно отличались ($p \leq 0,01$) между свиньями, зараженными S735-pCOM1-V[10] и S735-pCOM1 (Таблица 2). В качестве контроля мы также протестировали вирулентность S735, трансформированного плазмидой, содержащей гомологичный фрагмент размером 3 т.п.н. из штамма S735 (S735-pCOM1-V[S735]). Высокий процент свиней, зараженных S735-pCOM1-V[S735], выжил во время эксперимента. Свиньи, зараженные S735-pCOM1-V[S735], показали значительно более конкретные клинические признаки ($p \leq 0,01$) чем свиньи, зараженные S735-pCOM1 (Таблица 2), хотя различия в клинических показателях лихорадки и неспецифических симптомах достоверно не различались между 5 группами ($p = 0,06$). Таким образом, увеличенное количество копий V[S735] в S735, из-за введения плазмиды pCOM1-V[S735], увеличило специфические клинические признаки заболевания, вызванного *S. suis*. Тем не менее, специфические и неспецифические клинические признаки, обусловленные S735-pCOM1-V[10] ($p \leq 0,01$), были значительно увеличены по сравнению со 10 свиньями, зараженными S735-pCOM1-V[S735], демонстрируя, что введение V[10] в штамм S735 повысило вирулентность больше, чем введение V[S735]. Этот результат показал, что гипервирулентность штамма S735 pCOM1-V[10] может быть связана с различными полиморфизмами нуклеотидов в V[10] по 15 сравнению с V[S735].

Чтобы определить, являются ли оба *orf2* и *folC*-гены необходимыми для наблюдаемого повышения вирулентности, оба гена оперона, полученные из штамма 10, которым предшествует их родственная промоторная 20 последовательность, были введены отдельно в штамм S735 для получения штаммов S735-pCOM1-*orf2*[10] и S735-pCOM1-*folC*[10]. Вирулентность этих изолятов определяли при экспериментальном заражении поросят, используя S735-pCOM1-V[10] и S735-pCOM1 в качестве контроля. Таблица 2 показывает, что свиньи, зараженные S735-pCOM1-V[10] или S735-pCOM1-*orf2*[10], умирали 25 в течение одного дня после заражения с тяжелыми клиническими признаками. У зараженных свиней развился токсический шокоподобный синдром, который не наблюдался при использовании штамма 10 дикого типа при экспериментальных заражениях, что означает, что фрагмент V[10] и *orf2*[10] повысили 30 вирулентность S735 с получением более вирулентных изолятов, чем штамм 10 [3]. Как специфические, так и неспецифические симптомы были значительно

увеличены ($p < 0,01$) у свиней, зараженных S735-pCOM1-V[10] или S735-pCOM1-*orf2*[10], по сравнению с S735-pCOM1 (Таблица 2).

Бактериологическое исследование показало, что ЦНС, серозная оболочка и суставы были колонизированы высоким КОЕ *S. suis*. Для сравнения, свиньи, 5 зараженные S735-pCOM1-*folC*[10] или S735-pCOM1, выжили во время эксперимента (11 дней после заражения), демонстрируя легкие симптомы инфекции, такие как лихорадка. Существенных различий в клиническом исходе между свиньями, зараженными S735-pCOM1-*folC*[10] и S735-pCOM1, не наблюдалось. Это четко демонстрирует, что введение *folC*[10] не повышает 10 вирулентность штамма S735, тогда как введение V[10] и *orf2*[10] повысило вирулентность штамма S735. Поэтому мы пришли к выводу, что наблюдаемое повышение вирулентности у S735-pCOM1-V[10] по сравнению с S735-pCOM1 обусловлено введением *orf2*[10].

В заключение, как количество копий V[10], так и генетическое окружение 15 *orf2-folC* оперона, по-видимому, являются определяющими вирулентность данного изолята.

Сбор данных *in silico* показывает, что ORF2 является белком, связывающим субстрат, облегчающим транспорт фолата.

Теперь, когда повышенная вирулентность объясняется введением 20 множественных копий *orf2*[10], искали предполагаемую функцию *orf2*. *In silico* анализ 5' межгенной области, предшествующей *orf2-folC* оперону, выявил наличие прогнозируемой вторичной структуры, которая показала значительную гомологию с рибопереключателем тетрагидрофолата (ФИГ. 3).

Тетрагидрофолатные рибопереключатели представляют собой класс 25 гомологичных РНК в некоторых бактериях, которые связывают тетрагидрофолат (THF) [18]. Они находятся почти исключительно в вероятных 5'-нетранслируемых областях кодирующих белок генов, и известно, что большинство этих генов кодируют либо транспортеры фолата, либо ферменты, 30 участвующие в метаболизме фолата. По этим причинам было сделано заключение, что указанные РНК функционируют как рибопереключатели. THF рибопереключатели встречаются у множества фирмикутов, в частности у отрядов *Clostridiales* и *Lactobacillales*, и реже у других клеточных линий бактерий. Такой THF рибопереключатель был одной из многих консервативных структур РНК, обнаруженных в проекте, основанном на сравнительной геномике

[19]. Связь с метаболизмом фолата была подтверждена Эудес и др., продемонстрировавшим, что в *S. suis* ген, расположенный в обратном направлении от *folC*, кодировал транспортер фолиевой кислоты, FolT [20]. Эта объяснение было также применено к новой последовательности генома *S. suis*, SC070731, в которой объясняется, что гомологичный ген ssu0135 кодирует FolT (GenBank AGG63648.1). Была определена 3-мерная структура энергосвязывающего фактора транспорта фолата у *Lactobacillus brevis* [21], что привело к предложению мультибелковой модели транспортера фолата. В этой модели *ORF2* / FolT функционирует в качестве трансмембранных субстрат-специфического связывающего белка. Вместе с более общим трансмембранным белком и двумя нуклеотидсвязывающими белками, образующими энергосвязывающий модуль, этот комплекс облегчает трансмембранный транспорт фолата. Только субстратсвязывающий белок (FolT) специчен для фолата, другие компоненты также используются для транспорта других субстратов, таких как тиамин или рибофлавин. Когда последовательность белка FolT из *S. suis* сравнили с предполагаемыми последовательностями FolT других организмов, стало ясно, что консервативные аминокислоты также были консервативными в *S. suis* [21] (ФИГ. 4). Интересно, что Фиг. 4 также показывает, что аргинин, который был чрезвычайно консервативным в транспортере фолата человека, также как транспортеры тетрациклина в *Escherichia coli*, также был консервативным в *S. suis* (Arg99), что указывает на то, что этот остаток важен для транспортеров в пределах от человека до бактерий [22]. Взятые вместе, эти данные убедительно свидетельствуют о том, что консервативный белок с неизвестной функцией, *ORF2*, идентифицированный 25 с использованием стратегии комплементации, кодирует белок, связывающий субстрат, облегчающий транспорт фолата.

Транспорт фолата в *Streptococcus suis*.

Анализ последовательности P1/7 (которая высокогомологична геному штамма 10) указывает на то, что *S. suis* кодирует все ферменты, необходимые для синтеза тетрагидрофолата (THF) по классическому пути биосинтеза фолата (ФИГ. 5). На основании данных, доступных в базе данных KEGG (www.kegg.jp) метаболизм фолата у *S. suis* идет по классическим путям метаболизма фолата с использованием *folE*, *folQ*, *folB*, *folK*, *folC*, *folA* и субстратов ГТФ, *p*-аминобензоата (*PABA*) и глутамила (GLU) как изображено на схеме. Тем не

менее, с дополнительными генами, присутствующими в V[10] опероне, *S. suis* кажется также способным индуцировать экспрессию *folT* для прямого импорта фолата и использовать одновременную индуцированную экспрессию дополнительной копии *folC*, фолат может быть немедленно превращен в 5 конечный продукт тетрагидрофолат (THF). Таким образом, сочетание *folT* и *folC* образует дополнительный «короткий путь», который позволяет производить THF. Наличие THF рибопереключателя, расположенного в обратном направлении от *folT-folC* оперона, предполагает жесткую регуляцию этого 10 оперона с двумя генами, что может означать, что *folT-folC* оперон экспрессируется только при определенных условиях, например при нехватке фолата. На основании результатов эксперимента на животных, описанного выше, предполагается, что *folT-folC* оперон по крайней мере экспрессируется в 15 условиях *in vivo*.

Присутствие и экспрессия *folT* в *Streptococcus suis*.

Присутствие гена *folT* было продемонстрировано во всех тестированных серотипах *S. suis*, за исключением серотипов 32 и 34. Однако серотипы 32 и 34 были переотнесены к роду *Streptococcus orisratti*, вместо *S. suis* [1]. Итак, в заключение считается, что все серотипы *S. suis* имеют гены, кодирующие FolT и 20 FolC.

Анализ последовательности предполагаемого промотора *orf2* выявил разницу в положении одного нуклеотида в области -35 предполагаемого промотора в штамме 10 (TGGACA) по сравнению со штаммом S735 (TGGTCA) 25 [14]. Влияние этого SNP на уровни экспрессии *orf2* и *folC* у штаммов 10 и S735 определяли с помощью анализа количественной ПЦР. Значительно более высокие уровни экспрессии *orf2* также, как *folC* наблюдались в штамме 10 по сравнению со штаммом S735 (ФИГ. 6А). Это ясно указывает на то, что SNP в области -35 предполагаемого промотора влияет на транскрипцию *orf2* и *folC*. Таким образом, это демонстрирует, что идентифицированный SNP действительно находился в промоторной области в опероне, транскрибуируемой 30 *orf2* и *folC*. Кроме того, введение pCOM1-*orf2*[10] в S735 повысило экспрессию *orf2* в 31 раз по сравнению с введением pCOM1, тогда как введение pCOM1-*orf2*[S735] повысило экспрессию *orf2* только в 5 раз (ФИГ. 6В). Как ожидалось, уровни экспрессии *folC* были похожи для обоих рекомбинантных штаммов (Фиг. 6В). Для подтверждения того, что идентифицированный SNP в области -35

промотора отвечает за различия в транскрипции *orf2* в штаммах S735 и 10, TGGTCA из *orf2*[S735] был мутирован в TGGACA, что соответствует промотору *orf2*[10] (с получением штамма S735-pCOM1-*orf2*[S735][t488a]. Было показано, что уровни транскриптов *orf2* в S735-pCOM1-*orf2*[S735][t488a] похожи на штамм 5 S735-pCOM1-*orf2*[10] и в четыре раза выше, чем у штамма S735-pCOM1-*orf2*[S735] в разные фазы роста (ФИГ. 6С). Оба промотора наиболее активны в начале фазы роста *S. suis* при выращивании в бульоне Тодда-Гевитта (ФИГ. 6С). Вместе эти результаты ясно демонстрируют, что у штамма 10 промотор, расположенный в обратном направлении от *orf2-folC*-оперона, сильнее, чем 10 промотор, расположенный в обратном направлении от этого оперона в штамме S735, из-за SNP в области -35.

Чтобы определить, связан ли SNP с повышенной экспрессией *orf2-folC* оперон, он был связан с конкретными секвенированными промоторными областями клonalных типов или серотипов *S. suis* из большой коллекции 15 изолятов (Таблица 3). Все использованные изоляты были недавно охарактеризованы и классифицированы с помощью CGH и MLST [23]. На основании полученных данных о последовательности изоляты можно разделить на две основные группы (Таблица 3). Область сильного промотора -35 была обнаружена исключительно в изолятах серотипа 1 и 2, которые принадлежали к 20 кластеру А по CGH и клональному комплекса 1 по MLST, и которые экспрессировали EF-белок. SNP, связанный с более низкой активностью промотора, был обнаружен в изолятах серотипа 7 и 9, принадлежащих к группе В CGH (за исключением двух), в которой все отрицательны по экспрессии EF, а также в слабо вирулентных изолятах серотипа 2, принадлежащих к группе А 25 CGH / клональному комплексу 1 (CC1), который был положительным для экспрессии крупной формы белка EF (EF *). Было два исключения, изолят серотипа 7 (C126), который принадлежит к CC1, но не экспрессирует EF-белок, содержащий SNP, связанный с более сильным промотором, и изолят серотипа 7 (7711), который имел другую промоторную последовательность -35 (TTGTCA), 30 для которой сила промотора не определена. В заключение, только CC1 изоляты, экспрессирующие белок EF (и 1 изолят серотипа 7), содержат SNP, связанный с сильной активностью промотора. Поскольку у изолятов с этой комбинацией фенотипа и генотипа есть значительная корреляция с вирулентностью [23,24], мы можем заключить, что сильный промоутер, расположенный в обратном

направлении от *orf2-folC*-оперона, связан с вирулентными изолятами *S. suis*. Это наблюдение вместе с повышенной вирулентностью наблюдается после введения дополнительных копий *folT*[10] дает основания предполагать, что повышенная экспрессия *folT* либо из-за увеличения числа копий, либо из-за более сильного промотора приводит к повышению вирулентности *S. suis*.

Рост *Streptococcus suis* с дополнительными копиями *folT* или без *folT* при культивировании.

Не наблюдалось существенных различий в росте *Streptococcus suis* с дополнительными копиями *folT* или без функционального *folT* по сравнению с родительским штаммом при культивировании *in vitro*.

Белковая экспрессия FolT.

На основании последовательности белка FolT было предположено, что FolT является очень гидрофобным белком с по меньшей мере 5 трансмембранными доменами. Моделированием гомологии (сервер Expasy) с использованием 6 известных структур FolT, среди которых напечатанная 3D-структура FolT из *Lactobacillus brevis*, была предположена 3D-структура для FolT *S. suis* (ФИГ. 7).

FolT важен для выживания *in vivo*: вирулентность *folT*-нокаутного штамма 10Δ*folT*.

Так как сверхэкспрессия *folT* в слабо вирулентном штамме *S. suis* ведет к значительному увеличению вирулентности, мы предположили, что FolT играет важную роль *in vivo*. Чтобы проверить, верна ли эта гипотеза, был создан изогенный нокаут в вирулентном штамме *S. suis* 10, путем вставки кассеты устойчивости к спектиномицину в ген *folT*. Так как *folT* и *folC* находятся в структуре оперона, этот нокаут, вероятно, также будет инактивировать дополнительную копию *folC*. Чтобы определить, важен ли транспорт фолата для вирулентности *in vivo*, в эксперименте 1 десять свиней были внутривенно зараженные либо штаммом дикого типа 10, либо нокаутным штаммом 10Δ*folT*. Все свиньи ответили на инфицирование повышением температуры тела (ФИГ. 8). Однако свиньи, зараженные штаммом дикого типа 10, демонстрировали более высокие температуры в течение более длительного периода времени по сравнению со свиньями, зараженными нокаутным штаммом 10Δ*folT*. Это также отражается в разнице в индексе лихорадки (процент наблюдений, где у свиней была лихорадка) между обеими группами ($p = 0,06$). Это говорит о том, что штамм 10Δ*folT* менее поигенный, по сравнению со штаммом дикого типа. Это

может быть следствием того факта, что значительно меньше бактерий было выделено из крови поросят, зараженных штаммом $10\Delta folT$. Только две свиньи, зараженные штаммом $10\Delta folT$, показали короткий бактериемический период по сравнению с 5 свиньями, зараженными штаммом 10; свиньи, зараженные 5 штаммом 10, также имели значительно большее количество бактерий в крови в течение более длительного периода времени (ФИГ. 9). Это говорит о том, что штамм $10\Delta folT$ либо более эффективно выводится из крови, либо не может выжить в крови. Подсчет лейкоцитов показал, что свиньи, зараженные штаммом дикого типа 10, демонстрировали более сильное увеличение БКК в течение 10 более длительного периода времени. У всех свиней, зараженных штаммом 10, наблюдалось увеличение БКК, тогда как только у одной свиньи, зараженной штаммом $10\Delta folT$, наблюдалось увеличение БКК. Рассчитанный индекс БКК значительно различается между группами (Таблица 5). Показатели выживаемости между двумя группами значительно различались: свиньи, 15 зараженные штаммом 10, имели среднюю выживаемость 2,6 дня после заражения, тогда как свиньи, зараженные штаммом $10\Delta folT$ пережили 6,2 дня после заражения. (ФИГ. 10). Хотя свиней подвергали эвтаназии, когда были достигнуты заранее предопределенные гуманные конечные точки эксперимента, выживаемость отражает тяжесть инфекции. Как показано на Фигуре 10, кривые 20 выживаемости значительно различаются между группами. Макропатология показала, что у 4/5 свиней, зараженных штаммом 10, наблюдались клинические признаки, специфические для вызванной *S. suis* инфекции, такие как артрит, плеврит, перикардит или перитонит, тогда как 3/5 свиней, зараженных штаммом $10\Delta folT$, показали специфические клинические признаки. Бактериологическое 25 исследование всех инфицированных органов показало, что большее количество органов было колонизировано более высокими бактериальными нагрузками в случае штамма дикого типа 10 по сравнению со штаммом $10\Delta folT$ (ФИГ. 11).

Второй эксперимент на животных (эксперимент 2) в целом подтвердил данные, полученные в эксперименте 1. Как и в первом эксперименте, кривые 30 выживаемости штамма дикого типа 10 и изолята штамма $10\Delta folT$ значительно отличались. В эксперименте 2 все животные, которым вводили штамм $10\Delta folT$, дожили до конца эксперимента, в то время как 60 % животных, которым вводили штамм 10, должны были быть умерщвлены в ходе эксперимента (ФИГ. 12). Кроме того, частота и тяжесть клинических признаков (например, температуры,

локомоция и сознания; см. Фигуры 13, 14, 15) значительно различались у животных, которым вводили штамм дикого типа 10 и штамм $10\Delta folT$. Частота макропатологических нарушений в суставах и брюшине, выявленных при вскрытии, также значительно различалась между диким типом и мутантным изолятом $10\Delta folT$.

На основании результатов экспериментов по заражению поросят был сделан вывод, что изогенный нокаутный мутантный штамм $10\Delta folT$ был значительно ослаблен по сравнению со штаммом дикого типа. Это показывает, что транспортер фолата необходим для выживания бактерий в условиях *in vivo*.

Объединяя результаты обоих исследований, эти эксперименты ясно показывают, что изолят $\Delta folT$ почти не вызывал смертность, минимальные клинические признаки и сниженную частоту воспалений суставов и перитонита по сравнению с исходным штаммом. Поэтому можно сделать вывод, что штамм $\Delta folT$ сильно ослаблен и безопасен.

Обобщающие результаты. Вакцина, содержащая бактерию с модификацией, такой как мутация, делеция или вставка в области ДНК, кодирующей белок, связывающий субстрат фолата (изолят $\Delta folT$ указанной бактерии) защищает хозяина от заражения вирулентным изолятом указанной бактерии, не имеющим указанной модификации.

В настоящем изобретении предложен способ получения бактерии, предпочтительно для использования в вакцине, предпочтительно для использования в вакцине для создания защиты от бактериальной инфекции, включающий выбор родительского бактериального штамма, обычно способного к транспорту фолатов и синтезу фолатов, и выбор бактерии из этого родительского штамма, которая имеет модификацию, такую как мутация, делеция или вставка, в области ДНК указанной бактерии, кодирующей белок, связывающий субстрат фолата (у *Streptococcus suis* известный как ген *folT*), и отбор указанной бактерии по способности расти с такой же скоростью, как и указанный родительский штамм *in vitro*, но расти с более низкой скоростью по сравнению с указанным родительским штаммом *in vivo*. В настоящем изобретении также предложен способ получения бактерии, предпочтительно для использования в вакцине, предпочтительно вакцину для использования для создания защиты от бактериальной инфекции, включающий выбор родительского бактериального штамма, обычно способного к транспорту

фолатов и синтезу фолатов, и выбор бактерии из этого родительского штамма, которая имеет модификацию, такую как мутация, делеция или вставка, в области ДНК указанной бактерии, кодирующей белок, связывающий субстрат фолата (у *Streptococcus suis* известный как ген *folT*), и отбор указанной бактерии по способности расти с такой же скоростью, как и указанный родительский штамм *in vitro*, но расти с более низкой скоростью по сравнению с указанным родительским штаммом *in vivo*. Такая бактерия, как предложено в настоящем документе, все еще обладает способностью продуцировать фолат для собственного использования путем применения путей синтеза фолата *de novo*.

Интактность этих путей синтеза не влияет на способность к росту *in vitro* (в культуре), однако неожиданно в настоящем документе было показано, что рост и вирулентность у хозяина (*in vivo*) значительно снижены.

Такой бактериальный штамм, который хорошо растет *in vitro*, но *in vivo* растет меньше, чем его родительский штамм, и имеет значительно сниженную вирулентность *in vivo*, очень полезен в качестве вакцинного штамма. Такой штамм или мутант, предложенный в настоящем изобретении, с одной стороны, по существу, не подвержен влиянию синтеза фолата и, таким образом, может быть выращен до высоких титров и, следовательно, относительно прост и недорог в производстве, в то время как с другой стороны, из-за его сниженного роста и сниженной вирулентностью у его хозяина по сравнению с его родительским штаммом, он является относительно безвредным после применения *in vivo*, что делает его чрезвычайно полезным в качестве вакцины направленной против бактериальной инфекции.

В первой серии экспериментов, описанных в настоящем документе, для исследования эффективности использовали поросля приблизительно трехнедельного возраста (комерческой породы), которые не были вакцинированы против *S. suis* и никогда не получали лекарственного корма. У животных был отрицательный мазок с миндалин на *S. suis* серотипа 2 по ПЦР при регистрации, и они происходили из стада с отрицательным результатом на PRRSV. Две обрабатываемые группы были размещены отдельно на месте исследования.

По прибытии на место исследования у всех животных были взяты мазки крови и мазки с миндалин. В день исследования 0, после соответствующего периода акклиматизации, одну группу животных вакцинировали штаммом

10ΔFolT. Другая группа животных была оставлена не вакцинированной. Вакцинированные животные были ревакцинированы на 21 день в правую сторону шеи той же дозой мутантного изолята, соответственно. После каждой вакцинации у животных наблюдали местные и системные реакции. На 35-й день исследования у всех животных собирали мазки крови и мазки с миндалин, прежде чем животных в обеих группах подвергали заражению исследуемым штаммом ATCC700794. У животных наблюдали признаки связанного с *S. suis* заболевания (например, повышение температуры тела, хромота, ненормальное поведение, признаки ЦНС) в течение 7 дней после заражения. Животных, найденных мертвыми или которые должны были быть подвергнуты эвтаназии перед выбыванием из испытания по причинам, связанным с благополучием животных, подвергали вскрытию. Во время вскрытия животных оценивали по макроскопическим признакам, типично связанным с заболеванием, вызванным *S. suis* (например, воспаление ЦНС, суставов, грудной полости). Кроме того, для восстановления исследуемого изолята собирали образцы ЦНС. На 42 день все оставшиеся животные были умерщвлены, вскрыты и образцы были взяты, как описано выше. Вакцинированные животные показали значительно меньше признаков заболевания, вызванного *S. suis*, после заражения.

Вторая серия экспериментов была проведена на свиньях коммерческой породы; в день первой вакцинации свиньи были в возрасте 21 ± 7 дней. Животные, которых не вакцинировали против *S. suis*, с отрицательными мазками с миндалин на *S. suis* типа 2, PRRSV-отрицательные по серологии, были потомством свиноматок, у которых мазок с миндалин был отрицательным на *S. suis* типа 2. По прибытии на место исследования у всех животных были взяты мазки крови и мазки с миндалин. В день исследования 0, после соответствующего периода акклиматизации, одну группу животных вакцинировали в левую часть шеи штаммом ΔFolT2. Другая группа животных была оставлена не вакцинированной. Вакцинированные животные были ревакцинированы на 21 день в правую сторону шеи той же дозой мутантного изолята, соответственно. После каждой вакцинации у животных наблюдали местные и системные реакции. На 34-й день у всех животных были собраны мазки крови и мазки с миндалин, а затем животные строгого контроля были перемещены в отдельное помещение с отдельной подачей воздуха, в то время

как все другие группы были объединены. На 35-й день животных заражали внутрибрюшинно (*ip*) примерно вирулентным изолятом *S. suis* типа 2.

В течение семи дней после заражения животных осматривали на признаки заболевания, вызванного *S. suis*. Животных, найденных мертвыми или которые 5 должны были быть подвергнуты эвтаназии перед выбыванием из испытания по причинам, связанным с благополучием животных, подвергали вскрытию. Во время вскрытия животных оценивали по макроскопическим признакам, обычно связанным с заболеванием, вызванным *S. suis* и ЦНС (то есть мозг), и собирали образцы суставов. Выбывшие из испытания все оставшиеся животные были 10 умерщвлены, вскрыты и образцы были собраны. Вакцинация мутантом $\Delta folT2$ снизила количество животных, которые умерли или должны были быть подвергнуты эвтаназии по соображениям благополучия животных в течение периода наблюдения после заражения. Во время вскрытия признаки воспаления 15 в головном мозге, на которые указывает присутствие фибрина и/или жидкости, реже наблюдались у животных, вакцинированных $\Delta folT2$, по сравнению с отрицательными контролями. Исследуемый изолят *S. suis* реже обнаруживали в образцах головного мозга и суставов, собранных при вскрытии у животных, вакцинированных штаммом $\Delta folT2$, по сравнению с отрицательными 20 контролями.

20

ССЫЛКИ

1. Hill JE, Gottschalk M, Brousseau R, Harel J, Hemmingsen SM, et al. (2005) Biochemical analysis, cpn60 and 16S rDNA sequence data indicate that *Streptococcus suis* serotypes 32 and 34, isolated from pigs, are *Streptococcus orisratti*. Vet Microbiol 107: 63-69.
2. Wisselink HJ, Smith HE, Stockhofe-Zurwieden N, Peperkamp K, Vecht U (2000) Distribution of capsular types and production of muramidase-released protein (MRP) and extracellular factor (EF) of *Streptococcus suis* strains isolated from diseased pigs in seven European countries. Vet Microbiol 74: 237-248.
3. Vecht U, Wisselink HJ, Jellema ML, Smith HE (1991) Identification of two proteins associated with virulence of *Streptococcus suis* type 2. Infect Immun 59: 3156-3162.
4. Staats JJ, Feder I, Okwumabua O, Chengappa MM (1997) *Streptococcus suis*: past and present. Vet Res Commun 21: 381-407.

5. Jacobs AA, Loeffen PL, van den Berg AJ, Storm PK (1994) Identification, purification, and characterization of a thiol-activated hemolysin (suilysin) of *Streptococcus suis*. *Infect Immun* 62: 1742-1748.
6. Wertheim HF, Nghia HD, Taylor W, Schultsz C (2009) *Streptococcus suis*: an emerging human pathogen. *Clin Infect Dis* 48: 617-625.
- 5 7. Ye C, Zhu X, Jing H, Du H, Segura M, et al. (2006) *Streptococcus suis* sequence type 7 outbreak, Sichuan, China. *Emerg Infect Dis* 12: 1203-1208.
8. Tang J, Wang C, Feng Y, Yang W, Song H, et al. (2006) Streptococcal toxic shock syndrome caused by *Streptococcus suis* serotype 2. *PLoS Med* 3: e151.
- 10 9. Takamatsu D, Wongsawan K, Osaki M, Nishino H, Ishiji T, et al. (2008) *Streptococcus suis* in humans, Thailand. *Emerg Infect Dis* 14: 181-183.
- 10 10. Mai NT, Hoa NT, Nga TV, Linh le D, Chau TT, et al. (2008) *Streptococcus suis* meningitis in adults in Vietnam. *Clin Infect Dis* 46: 659-667.
- 15 11. Swildens B, Nielen M, Wisselink HJ, Verheijden JH, Stegeman JA (2007) Elimination of strains of *Streptococcus suis* serotype 2 from the tonsils of carrier sows by combined medication and vaccination. *The Veterinary record* 160: 619-621.
- 20 12. Dekker CN, Bouma A, Daemen AJ, van Leengoed LA, Jonker FH, et al. (2012) Homologous whole bacterin vaccination is not able to reduce *Streptococcus suis* serotype 9 strain 7997 transmission among pigs or colonization. *Vaccine* 30: 1379-1387.
13. Baums CG, Bruggemann C, Kock C, Beineke A, Waldmann KH, et al. (2010) Immunogenicity of an autogenous *Streptococcus suis* bacterin in preparturient sows and their piglets in relation to protection after weaning. *Clin Vaccine Immunol* 17: 1589-1597.
- 25 14. Smith HE, Buijs H, Wisselink HJ, Stockhofe-Zurwieden N, Smits MA (2001) Selection of virulence-associated determinants of *Streptococcus suis* serotype 2 by *in vivo* complementation. *Infect Immun* 69: 1961-1966.
- 15 15. Konings RN, Verhoeven EJ, Peeters BP (1987) pKUN, vectors for the separate production of both DNA strands of recombinant plasmids. *Methods in enzymology* 153: 12-34.
- 30 16. Zaccaria E, van Baarlen P, de Greeff A, Morrison DA, Smith H, et al. (2014) Control of competence for DNA transformation in *Streptococcus suis* by genetically transferable pherotypes. *PLoS ONE* 9: e99394.

17. de Greeff A, Buys H, Verhaar R, Dijkstra J, van Alphen L, et al. (2002) Contribution of fibronectin-binding protein to pathogenesis of *Streptococcus suis* serotype 2. *Infect Immun* 70: 1319-1325.
18. Ames TD, Rodionov DA, Weinberg Z, Breaker RR (2010) A eubacterial riboswitch class that senses the coenzyme tetrahydrofolate. *Chem Biol* 17: 681-685.
- 5 19. Weinberg Z, Wang JX, Bogue J, Yang J, Corbino K, et al. (2010) Comparative genomics reveals 104 candidate structured RNAs from bacteria, archaea, and their metagenomes. *Genome biology* 11: R31.
20. Eudes A, Erkens GB, Slotboom DJ, Rodionov DA, Naponelli V, et al. (2008) 10 Identification of genes encoding the *folAte*- and thiamine-binding membrane proteins in Firmicutes. *J Bacteriol* 190: 7591-7594.
21. Xu K, Zhang M, Zhao Q, Yu F, Guo H, et al. (2013) Crystal structure of a *folAte* energy-coupling factor transporter from *Lactobacillus brevis*. *Nature* 497: 268-271.
- 15 22. Lasry I, Berman B, Straussberg R, Sofer Y, Bessler H, et al. (2008) A novel loss-of-function mutation in the proton-coupled *folAte* transporter from a patient with hereditary *folAte* malabsorption reveals that Arg 113 is crucial for function. *Blood* 112: 2055-2061.
23. de Greeff A, Wisselink HJ, de Bree FM, Schultsz C, Baums CG, et al. (2011) 20 Genetic diversity of *Streptococcus suis* isolates as determined by comparative genome hybridization. *BMC Microbiol* 11: 161.
24. King SJ, Leigh JA, Heath PJ, Luque I, Tarradas C, et al. (2002) Development of a multilocus sequence typing scheme for the pig pathogen *Streptococcus suis*: identification of virulent clones and potential capsular serotype exchange. *J Clin Microbiol* 40: 3671-3680.
25. Smith HE, Rijnsburger M, Stockhofe-Zurwieden N, Wisselink HJ, Vecht U, et al. (1997) Virulent strains of *Streptococcus suis* serotype 2 and highly virulent strains of *Streptococcus suis* serotype 1 can be recognized by a unique ribotype profile. *J Clin Microbiol* 35: 1049-1053.

ТАБЛИЦЫ.Таблица 1. Последовательности праймеров.

| Название праймера | Последовательность 5'-3' | Мишень |
|------------------------------|--|--|
| comE1 | <u>c g a g c t c g</u> gaagaattggattgcgcgtg (SEQ ID NO: 1) | <i>orf2</i> [10] – прямой – SacI |
| comE2 | <u>c g g g a t c c c g g g g g a t g a c c t g t g c t t g</u> (SEQ ID NO: 2) | <i>orf2</i> [10] – обратный – BamHI |
| comE3 | <u>t c c c c g g g g g a g t c g t g t g t a t t c g a c a g c g g</u> (SEQ ID NO: 3) | P- <i>orf2-folC</i> [10] – обратный – SmaI |
| comE4 | <u>t c c c c g g g g g a c a a g c a a c a g g t c a t c c c c</u> (SEQ ID NO: 4) | <i>folC</i> [10] – прямой – SmaI |
| comE6 | <u>c g g g a t c c c c g g t t g a a t g c c c g g c a a g c c</u> (SEQ ID NO: 5) | <i>folC</i> [10] – обратный - BamHI |
| <i>Orf2-fw</i> | ctacggctggttcttctatcgaa (SEQ ID NO: 6) | <i>S. suis orf2</i> |
| <i>Orf2-rev</i> | gcaatcggtgtcatgataaagg (SEQ ID NO: 7) | <i>S. suis orf2</i> |
| <i>folC-fw</i> | gttgtccgtccatcggtt (SEQ ID NO: 8) | Полифолилполиглутаматсинтаза <i>S. suis</i> |
| <i>FolC-rev</i> | ctggtcggtcgcatacatg (SEQ ID NO: 9) | Полифолилполиглутаматсинтаза <i>S. suis</i> |
| <i>RecA-fw</i> | ggtttcaggctcgatgatg (SEQ ID NO: 10) | Рекомбиназа A <i>S. suis</i> |
| <i>RecA-rev</i> | accaaacatgacaccgactttt (SEQ ID NO: 11) | Рекомбиназа A <i>S. suis</i> |
| t488a | gaaaggtagtttttagcaagtgg <u>a c a a a t a t a t a g t</u> gtgtgatacat (SEQ ID NO: 12) | Промотор <i>orf2</i> |
| t488a_ антисмысловой | attgttatcacacactatataatgg <u>t c c a c t t g c t a a a a a</u> | Промотор <i>orf2</i> |
| V735-fw | cataaccttc (SEQ ID NO: 13) tatgcgcaatgacgttagaagg (SEQ ID NO: 14) | pKUN-V[10]*-Spec ^R |
| M13-rev | aacagctatgaccatg (SEQ ID NO: 15) | pKUN-V[10]*-Spec ^R |

Таблица 2. Вирулентность трансфицированных штаммов *S. suis* у поросят-гнотиотиков; все штаммы содержали плазмиду (pCOM1) с вставкой или без нее. V[10] / V[S735]: исходный фрагмент размером 3 т.п.н. из штамма 10 или штамма S735, который был выбран из библиотеки; *orf2*[10]: *orf2* из V[10]; 5 *folC*[10]: *orf3* из V[10], кодирующий дигидрофолат синтазу.

| Штамм | Кол-во | Доза (КОЕ) | Смертность^a (%) | Клинический индекс группы | | | | Кол-во свиней, из которых выделили <i>S. suis</i> | | | |
|-------------------------------------|---------------|-------------------|---------------------------------------|--------------------------------------|--|---|---|--|------------|--|----------------|
| | | | | Кол-во дней до смерти | Заболевость^b (%) | Специф.^c симптомы | Неспециф.^d симптомы | Индекс лихорадки^e | ЦНС | Серозная оболочка^g | Суставы |
| S735-pCOM1- V[10] | 4 | 10 ⁶ | 100 | 1 | 10 | 100** | 100** | 38* | 4 | 4 | 4 |
| S735-pCOM1- <i>orf2</i> [10] | 4 | 10 ⁶ | 100 | 1 | 10 | 100** | 66* | 29 | 4 | 4 | 4 |
| S735-pCOM1- <i>folC</i> [10] | 4 | 10 ⁶ | 0 | 11 | 0 | 4 | 21 | 1 | 0 | 0 | 0 |
| S735-pCOM1 | 4 | 10 ⁶ | 0 | 11 | 0 | 0 | 21 | 5 | 0 | 0 | 0 |
| S735-pCOM1- V[10] ^f | 5 | 10 ⁶ | 100 | 1 | 100 | 100** | 100** | 60* | 5 | 5 | 5 |
| S735-pCOM1- V[S735] ^f | 5 | 10 ⁶ | 20 | 15 | 100 | 43** | 38 | 25 | 1 | 1 | 1 |
| S735-pCOM1 ^f | 5 | 10 ⁶ | 20 | 16 | 60 | 14 | 11 | 12 | 1 | 0 | 0 |
| T15-pCOM1- V[10] | 5 | 10 ⁶ | 0 | 14 | 16 | 4 | 16 | 13 | 1 | 1 | 1 |

^a Процент свиней, которые умерли из-за инфекции или должны были быть убиты по соображениям благополучия животных

^b Процент свиней со специфическими симптомами

^c Процент наблюдений для экспериментальной группы, в которой наблюдались специфические симптомы (атаксия, хромота хотя бы одного сустава и/или неподвижность)

^d Процент наблюдений для экспериментальной группы, в которой наблюдались неспецифические симптомы (отсутствие аппетита и/или депрессия)

^e Процент наблюдений для экспериментальной группы с температурой тела > 40 °C

^f Предыдущие эксперименты (Smith et al., 2001) были повторно проанализированы, чтобы обеспечить статистическое сравнение между экспериментами, этот повторный анализ потребовал новых точных определений специфических и аспецифических симптомов, как указано в материалах и методах.

* $p \leq 0,05$ по сравнению с S735-pCOM1

* $p \leq 0,01$ по сравнению с S735-pCOM1

g Серозная оболочка означает брюшина, перикард или плевра.

Таблица 3. Анализ последовательности области -35 промотора *orf2/folC* среди различных изолятов и серотипов¹ *S. suis*.

| Серо- тип | Фенотип | | | Клональный комплекс | Промоторная последовательность -35 (5'- 3') | | |
|--------------|------------------|-----------------|-----------------------------|------------------------|---|--------|--------|
| | MRP ² | EF ³ | CGH кластер ⁴ | | TGGACA | TGGTCA | TTGTCA |
| 1 | - | - | B | 13 | | 1/1 | |
| 1 | S | + | A | 1 | 4/4 | | |
| 2 | - | - | B | 16/29/14 | | 6/6 | |
| | | | | 7 | | | |
| 2 | + | - | B | 28 | | 1/1 | |
| 2 | + | * | A | 1 | | 7/7 | |
| 2 | - | * | A | 1 | | 1/1 | |
| 2 | + | + | A | 1 | 9/9 | | |
| 7 | - | - | B | 29/1 | 1/8 ⁵ | 6/8 | 1/8 |
| 9 | - | - | B | 16 | | 2/2 | |
| 9 | * | - | B | 16 | | 6/6 | |
| 9 | + | - | B | 16 | | 1/1 | |

¹ Изоляты *S. suis* были описаны в de Greeff et al.[23]

5 ² * Указывает на более высокомолекулярную форму MRP; «s» указывает на более низкомолекулярную форму MRP

³ * Указывает на более высокомолекулярную форму EF

10 ⁴ Все изоляты были генотипированы с использованием сравнительной гибридизации генома (CGH) [23]

⁵ Этот изолят относится к клональному комплексу 1

⁶ Количество проанализированных изолятов / количество изолятов с соответствующей промоторной последовательностью -35

Таблица 4. Клинические показатели свиней, зараженных *S. suis*, эксперимент 1.

| Штамм | Кол-во свиней | Доза | Смертность (%) | Кол-во дней до смерти | Индекс лихорадки^е | Индекс WBC | Макропатология | | | |
|-----------------|--------------------------|-------------------|---------------------------|----------------------------------|---|-------------------|-----------------------|----------------|-------------------|------------------|
| | | | | | | | Артрит | Плеврит | Перикардит | Перитонит |
| 10 | 5 | $1,1 \times 10^6$ | 100 | 2,6 | 47 | 50 | 11/20 | 2/5 | 2/5 | 1/5 |
| $10\Delta folT$ | 5 | $9,6 \times 10^5$ | 20 | 6,2** | 23 [#] | 19* | 2/20 | 1/5 | 1/5 | 0/5 |

* p ≤ 0,05 по сравнению с 10

** p ≤ 0,01 по сравнению с 10

p ≤ 0,1 по сравнению с 10

Таблица 5. Макроскопические поражения, указывающие на артрит и

перитонит: % положительных наблюдений у животных, зараженных штаммом дикого типа 10 и мутантным изолятом $10\Delta folT$; эксперимент 2.

| | 10 | $10\Delta folT$ |
|---------|-----|-----------------|
| Суставы | 100 | 20 |
| Брюшина | 80 | 20 |

Таблица 6. План клинического исследования (для исследования с использованием CBS 143192).

| Группа | Обработка | $\Delta folT2$ КОЕ на дозу | Вакцинация (Д0, Д21) | Заражение (Д35) | Выбывание из испытания |
|--------|--|----------------------------------|-------------------------|--------------------|------------------------------|
| 1 | Штамм $10\Delta folT2$ выращен на среде APS | $5,5 \times 10^7$ КОЕ | 0,2 мл <i>id</i> | | |
| 2 | Штамм $10\Delta folT2$ выращен на среде ТНВ | $1,4 \times 10^8$ КОЕ | 0,2 мл <i>id</i> | 2 мл <i>ip</i> | Д42 |
| 3 | Штамм $10\Delta folT2$ выращен на среде ТНВ | $1,4 \times 10^8$ КОЕ | 2,0 мл <i>im</i> | | |
| 4 | Вакцина плацебо [отрицательный контроль] | N/A | 2,0 мл <i>im</i> | | |
| 5 | Без обработки [Строгий контроль] | N/A | N/A | N/A | |

Таблица 7. Подготовка вакцины и плацебо (для исследования с использованием CBS 143192).

| Группа | Обработка | Описание |
|--------|---|--|
| 1 | Штамм 10Δ <i>folT2</i> выращен на среде APS | В день вакцинации ACES-забуференную среду Becton Dickinson APS-TSB (APS; без сыворотки) инокулировали Δ <i>folT2</i> , хранящимся под глицерином, и выращивали при перемешивании до $0,6 \pm 0,1$ OD A600 нм. Культуру центрифугировали при 9000 оборотов в течение 5 минут при 4 °C. Супернатант декантировали и затем клетки дважды отмывали в равном объеме стерильного 1X PBS, pH 7,2. Отмытые клетки суспендировали в PBS до OD A600 нм, равного приблизительно 9 log на мл. Приблизительно 10 мл 9 log отмытой культуры было разлито в стерильные флаконы. Аликвоты раствора для вакцинации были проверены на количество КОЕ до вакцинации и сразу после вакцинации. Вакцинныепрепараты держали на жидкомульде до введения не более 60 минут. |
| 2, 3 | Штамм 10Δ <i>folT2</i> выращен на среде THB | В день вакцинации бульон Тодда-Гевитта (THB; без сыворотки) инокулировали Δ <i>FolT2</i> , хранящимся под глицерином, и выращивали при перемешивании до $0,6 \pm 0,1$ ОД A600 нм. Культуру центрифугировали при 9000 оборотов в течение 5 минут при 4 °C. Супернатант декантировали и затем клетки дважды отмывали в равном объеме стерильного 1X PBS, pH 7,2. Отмытые клетки суспендировали в PBS до OD A600 нм, равного приблизительно 9 log на мл. Приблизительно 10 мл 9 log отмытой культуры перелили в стерильный флакон для обработки группы 2. Аликвоту 9 log промытой культуры дополнительноразбавили до целевой концентрации клеток в PBS и перелили в стерильный флакон для обработки группы 3. Аликвоты каждого раствора для обработки были проверены на количество КОЕ до вакцинации и сразу после вакцинации. Вакцинныепрепараты держали на жидкомульде до введения не более 60 минут. |
| 4 | Вакцина плацебо | Приблизительно 40 мл стерильного забуференного фосфатом солевого раствора (PBS), pH 7,2, перелили в стерильный флакон и хранили при 4 °C до использования. |

Таблица 8. Подготовка к заражению (для исследования с использованием CBS 143192).

| | |
|-------------------|---|
| Штамм | <i>S. suis</i> тип 2 ВИАН #08-06 (производный от АТСС 700794) |
| Подготовка | Отдельную колонию инокулировали в 10 мл предварительно нагретого THB + 5 % ФБС и выращивали статически до $0,5 \pm 0,1$ OD A600 нм. Объем культуры увеличивали до 900 мл в THB + 5 % ФБС и выращивали при перемешивании до $0,7 \pm 0,1$ OD A600 нм. Стерильный глицерин добавляли в культуру (10 % об./об.). Аликвоты были сохранены для определения КОЕ до замораживания и после размораживания, а также для определения чистоты. Пробу вносили во флакон и хранили при -70°C до использования. Перед использованием культуру размораживали на водяной бане при 37°C , затем разбавляли стерильным THB + 5 % ФБС до достижения целевой концентрации 1×10^9 КОЕ/мл. Аликвоты раствора для заражения проверяли на количество КОЕ до заражения и сразу после заражения. |

5 **Таблица 9.** Процент животных, которые умерли или были умерщвлены после заражения (смертность) (для исследования с использованием CBS 143192).

| Группа | Кол-во зараженных свиней | Вакцина | Смертность ^a |
|--------|--------------------------|---|-------------------------|
| 1 | 14 | Штамм $10\Delta folT2 - 7\log - APS - id$ | 35,7 % |
| 2 | 11 | Штамм $10\Delta folT2 - 8\log - THB - id$ | 45,5 % |
| 3 | 11 | Штамм $10\Delta folT2 - 8\log - THB - im$ | 27,3 % |
| 4 | 15 | Вакцина плацебо [отрицательный контроль] | 93,3 % |

Таблица 10. Процент животных с тяжелой хромотой после заражения (для исследования с использованием CBS 143192).

| Группа | Кол-во зараженных свиней | Вакцина | Процент свиней с тяжелой хромотой в течение периода наблюдения |
|--------|--------------------------|---|--|
| 1 | 14 | Штамм $10\Delta folT2 - 7\log - APS - id$ | 4,2 % |
| 2 | 11 | Штамм $10\Delta folT2 - 8\log - THB - id$ | 0 % |
| 3 | 11 | Штамм $10\Delta folT2 - 8\log - THB - im$ | 3,3 % |
| 4 | 15 | Вакцина плацебо [отрицательный контроль] | 41,7 % |

Таблица 11. Процент животных, проявляющих апатию после заражения (для исследования с использованием CBS 143192).

| Группа | Кол-во зараженных свиней | Вакцина | Процент свиней, проявляющих апатию в течение периода наблюдения |
|--------|--------------------------|---|---|
| 1 | 14 | Штамм 10 Δ folT2 – 7log - APS – id | 21,1 % |
| 2 | 11 | Штамм 10 Δ folT2 – 8log - THB - id | 4,3 % |
| 3 | 11 | Штамм 10 Δ folT2 – 8log - THB - im | 11,7 % |
| 4 | 15 | Вакцина плацебо [отрицательный контроль] | 50,0 % |

5 **Таблица 12.** Процент животных с признаками воспаления в мозге во время вскрытия (для исследования с использованием CBS 143192).

| Группа | Кол-во зараженных свиней | Вакцина | Процент свиней с воспалением в мозге |
|--------|--------------------------|---|--------------------------------------|
| 1 | 14 | Штамм 10 Δ folT2 – 7log - APS – id | 21 % |
| 2 | 11 | Штамм 10 Δ folT2 – 8log - THB - id | 45 % |
| 3 | 11 | Штамм 10 Δ folT2 – 8log - THB - im | 27 % |
| 4 | 15 | Вакцина плацебо [отрицательный контроль] | 87 % |

10 **Таблица 13.** Процент животных, у которых *S. suis* был обнаружен в образцах головного мозга, взятых при вскрытии (для исследования с использованием CBS 143192).

| Группа | Кол-во зараженных свиней | Вакцина | Процент свиней, у которых <i>S. suis</i> был обнаружен в мозге |
|--------|--------------------------|---|--|
| 1 | 14 | Штамм 10 Δ folT2 – 7log - APS – id | 35,7 % |
| 2 | 11 | Штамм 10 Δ folT2 – 8log - THB - id | 27,3 % |
| 3 | 11 | Штамм 10 Δ folT2 – 8log - THB - im | 27,3 % |
| 4 | 15 | Вакцина плацебо [отрицательный контроль] | 93,3 % |

Таблица 14. Процент животных, у которых *S. suis* был обнаружен в образцах головного мозга, взятых при вскрытии (для исследования с использованием CBS 143192).

| Группа | Кол-во зараженных свиней | Вакцина | Процент свиней, у которых <i>S. suis</i> был обнаружен в мозге |
|--------|--------------------------|---|--|
| 1 | 14 | Штамм 10Δ <i>folT2</i> – 7log - APS – <i>id</i> | 35,7 % |
| 2 | 11 | Штамм 10Δ <i>folT2</i> – 8log - THB – <i>id</i> | 36,4 % |
| 3 | 11 | Штамм 10Δ <i>folT2</i> – 8log - THB – <i>im</i> | 18,2 % |
| 4 | 15 | Вакцина плацебо [отрицательный контроль] | 73,3 % |

5

Таблица 15. План исследования заражения после вакцинации (для исследования с использованием CBS 140425).

| Группа | Кол-во свиней | Обработка | Кол-во/ 2 мл доза | Дни обра-ботки | Способ Вакци-нации | День зара-жения | Способ зара-жения |
|--------|---------------|-----------------------------|---|----------------|--------------------|-----------------|-------------------|
| 1 | 15 | Штамм 10Δ <i>folT</i> | 1,0 x 10 ¹⁰ КОЕ (первая вакцина) 9,8 x 10 ⁹ КОЕ (вторая вакцина) | 0, 21 | <i>i.m.</i> | 36 | <i>i.p.</i> |
| 2 | 15 | Штамм 10Δ <i>folT</i> | 9,5 x 10 ⁹ КОЕ | 0 | <i>i.m.</i> | 36 | <i>i.p.</i> |
| 3 | 15 | Плацебо [отрицат. контроль] | N/A | 0, 21 | <i>i.m.</i> | 36 | <i>i.p.</i> |
| 4 | 5 | Строгий контроль | N/A | N/A | N/A | N/A | N/A |

Таблица 16. Подготовка вакцины (для исследования с использованием CBS 140425).

| Группа | Обработка | Описание |
|--------|---------------|---|
| 1 - 2 | Штамм 10ΔfolT | Штамм 10ΔfolT, хранящийся под глицерином, переносили в бульон Тодда-Гевитта (THB) + 5 % фетальной бычьей сыворотки (ФБС) и выращивали статически до $0,5 \pm 0,1$ OD A600 нм. Объем культуры увеличивали до 1800 мл в THB + 5 % ФБС и выращивали при перемешивании до $0,7 \pm 0,1$ OD A600 нм. Культуру концентрировали в 6 раз центрифугированием и удалением супернатанта до достижения 10-log-дозы. Стерильный глицерин добавляли в концентрированную культуру (10 % об./об.). Аликвоты были сохранены для определения КОЕ, однородности и чистоты до замораживания и после размораживания. Вакцину вносили во флакон и хранили при -70°C до использования. Вакцину размораживали на водяной бане при 37°C и разбавляли до намеченной целевой концентрации, используя среду для хранения, затем держали на жидким льду до введения. |
| 6 | Плацебо | Стерильная среда THB + 5 % ФБС, хранили при 4°C до использования. |

Таблица 17. Подготовка к заражению (для исследования с использованием CBS 140425).

| | |
|------------------------|---|
| Исследуемый штамм | <i>S. suis</i> тип 2 ВИАН #08-06 (производный от ATCC 700794) |
| Подготовка к заражению | Отдельную колонию инокулировали в 20 мл предварительно нагретого THB + 5 % ФБС и выращивали статически до $0,5 \pm 0,1$ OD A600 нм. Объем культуры увеличивали до 900 мл в THB + 5 % ФБС и выращивали при перемешивании до $0,7 \pm 0,1$ OD A600 нм. Стерильный глицерин добавляли в культуру (10 % об./об.). Аликвоты были сохранены для определения КОЕ до замораживания и после размораживания, а также для определения чистоты. Пробу вносили во флакон и хранили при -70°C до использования. |

Таблица 18. Процент животных, проявляющих хромоту после заражения (CBS 140425).

| Группа | Кол-во свиней | Вакцина | Процент свиней, проявляющих хромоту |
|--------|---------------|----------------------------------|-------------------------------------|
| 1 | 13 | Штамм 10ΔfolT – 10logs - 2 доза | 7,7 % |
| 2 | 15 | Штамм 10ΔfolT – 10logs - 1 доза | 40,0 % |
| 3 | 15 | Плацебо [отрицательный контроль] | 93,3 % |

Таблица 19. Процент животных, демонстрирующих ненормальное поведение после заражения (CBS 140425).

| Группа | Кол-во свиней | Вакцина | Процент свиней, демонстрирующих ненормальное поведение |
|--------|---------------|--|--|
| 1 | 13 | Штамм $10\Delta folT - 10\text{logs}$ - 2 доза | 0 % |
| 2 | 15 | Штамм $10\Delta folT - 10\text{logs}$ - 1 доза | 46,7 % |
| 3 | 15 | Плацебо [отрицательный контроль] | 100 % |

Таблица 20. Процент животных, которые умерли или были умерщвлены 5 после заражения (смертность) (CBS 140425).

| Группа | Кол-во свиней | Вакцина | Смертность (%) |
|--------|---------------|--|----------------|
| 1 | 13 | Штамм $10\Delta folT - 10\text{logs}$ - 2 доза | 0 % |
| 2 | 15 | Штамм $10\Delta folT - 10\text{logs}$ - 1 доза | 26,7 % |
| 3 | 15 | Плацебо [отрицательный контроль] | 100 % |

Таблица 21. Процент животных с патологическими изменениями в мозге при вскрытии (CBS 140425).

| Группа | Кол-во свиней | Вакцина | Процент свиней с патологическими изменениями в ЦНС (%) |
|--------|---------------|--|--|
| 1 | 13 | Штамм $10\Delta folT - 10\text{logs}$ - 2 доза | 0 % |
| 2 | 15 | Штамм $10\Delta folT - 10\text{logs}$ - 1 доза | 26,7 % |
| 3 | 15 | Плацебо [отрицательный контроль] | 93,3 % |

Таблица 22. Процент животных с патологическими изменениями в грудной полости при вскрытии (CBS 140425).

| Группа | Кол-во свиней | Вакцина | Процент свиней с поражениями в грудной полости (%) |
|--------|---------------|--|--|
| 1 | 13 | Штамм $10\Delta folT - 10\text{logs}$ - 2 доза | 23,1 % |
| 2 | 15 | Штамм $10\Delta folT - 10\text{logs}$ - 1 доза | 33,3 % |
| 3 | 15 | Плацебо [отрицательный контроль] | 93,3 % |

Таблица 23. Процент животных, у которых *S. suis* был обнаружен в образце мозга (CBS 140425).

| Группа | Кол-во свиней | Вакцина | <i>S. suis</i> обнаружен в образце ЦНС (%) |
|--------|---------------|---|--|
| 1 | 13 | Штамм 10Δ <i>folT</i> – 10logs - 2 доза | 0 % |
| 2 | 15 | Штамм 10Δ <i>folT</i> – 10logs - 1 доза | 6,7 % |
| 3 | 15 | Плацебо [отрицательный контроль] | 73,3 % |

ПЕРЕЧЕНЬ ПОСЛЕДОВАТЕЛЬНОСТЕЙ

<110> БЁРИНГЕР ИНГЕЛЬХАЙМ ВЕТМЕДИКА ГМБХ

<120> Снижение вирулентности бактерий путем снижения транспорта фолата у бактерий

<130> 3811-P111017US

<160> 27

<170> PatentIn версии 3.5

<210> 1

<211> 30

<212> ДНК

<213> Искусственная Последовательность

<220>

<223> Праймер comE1

<400> 1

cgagctcgga agaattggtt attgcgcgtg

30

<210> 2

<211> 29

<212> ДНК

<213> Искусственная Последовательность

<220>

<223> Праймер comE3

<400> 2

cgggatcccg ggggatgacc tggcgcttg

29

<210> 3

<211> 33

<212> ДНК

<213> Искусственная Последовательность

<220>

<223> Праймер comE3

<400> 3

tcccccgggg gagtcgtgtg tattcgacag cggtt

33

<210> 4

<211> 31

<212> ДНК

<213> Искусственная Последовательность

<220>

<223> Праймер comE4

<400> 4

tcccccgggg gacaaggaaac aggtcatccc c

31

<210> 5

<211> 29

<212> ДНК

| | | |
|-------|----------------------------------|----|
| <213> | Искусственная Последовательность | |
| <220> | | |
| <223> | Праймер comE6 | |
| <400> | 5 | |
| | cgggatcccg gttgaatgcc cggcaagcc | 29 |
| <210> | 6 | |
| <211> | 23 | |
| <212> | ДНК | |
| <213> | Искусственная Последовательность | |
| <220> | | |
| <223> | Праймер Orf2-fw | |
| <400> | 6 | |
| | ctacggctgg ttcttctatc gaa | 23 |
| <210> | 7 | |
| <211> | 22 | |
| <212> | ДНК | |
| <213> | Искусственная Последовательность | |
| <220> | | |
| <223> | Праймер Orf2-rev | |
| <400> | 7 | |
| | gcaatcggtg tcatgataaa gg | 22 |
| <210> | 8 | |
| <211> | 20 | |
| <212> | ДНК | |
| <213> | Искусственная Последовательность | |
| <220> | | |
| <223> | Праймер folC-fw | |
| <400> | 8 | |
| | gttgtccgt ccatcggtt | 20 |
| <210> | 9 | |
| <211> | 20 | |
| <212> | ДНК | |
| <213> | Искусственная Последовательность | |
| <220> | | |
| <223> | Праймер folC-rev | |
| <400> | 9 | |
| | ctggtcggtc gcatacatga | 20 |
| <210> | 10 | |
| <211> | 21 | |
| <212> | ДНК | |
| <213> | Искусственная Последовательность | |
| <220> | | |
| <223> | Праймер RecA-fw | |

| | |
|---|----|
| <400> 10 ggtttgcagg ctcgtatgat g | 21 |
| | |
| <210> 11 <211> 23 <212> ДНК <213> Искусственная Последовательность | |
| | |
| <220> <223> Праймер RecA-rev | |
| | |
| <400> 11 accaaacatg acaccgactt ttt | 23 |
| | |
| <210> 12 <211> 51 <212> ДНК <213> Искусственная Последовательность | |
| | |
| <220> <223> Праймер t488a | |
| | |
| <400> 12 gaaaggtata gtttttagca agtggacaaa atatatagtg tgtgatacaa t | 51 |
| | |
| <210> 13 <211> 51 <212> ДНК <213> Искусственная Последовательность | |
| | |
| <220> <223> Праймер t488a_антисмысловой | |
| | |
| <400> 13 attgtatcac acactatata ttttgtccac ttgctaaaaa ctataccctt c | 51 |
| | |
| <210> 14 <211> 24 <212> ДНК <213> Искусственная Последовательность | |
| | |
| <220> <223> Праймер V735-fw | |
| | |
| <400> 14 tatgcgcaat gacgttagtag aagg | 24 |
| | |
| <210> 15 <211> 16 <212> ДНК <213> Искусственная Последовательность | |
| | |
| <220> <223> Праймер M13-rev | |
| | |
| <400> 15 aacagctatg accatg | 16 |

<210> 16
<211> 5
<212> БЕЛОК
<213> Streptococcus suis

<400> 16

Phe Tyr Arg Lys Pro
1 5

<210> 17
<211> 168
<212> БЕЛОК
<213> Clostridium bolteae

<400> 17

Met Thr Lys Thr Lys His Met Val Trp Met Gly Ile Leu Ile Ala Val
1 5 10 15

Ser Ile Val Leu Ser Arg Phe Leu Ser Phe Ser Ala Trp Asn Val Lys
20 25 30

Ile Gly Phe Ala Phe Ile Pro Ile Val Ile Gly Ala Val Leu Phe Gly
35 40 45

Pro Val Gln Gly Gly Ile Ala Ala Ala Ala Asp Phe Leu Gly Ala
50 55 60

Ile Leu Phe Pro Ile Gly Met Tyr Phe Pro Gly Phe Thr Val Thr Ala
65 70 75 80

Phe Leu Thr Gly Leu Thr Tyr Gly Ile Leu Leu His Lys Asn Arg Ser
85 90 95

Met Phe Arg Ile Ala Cys Ala Val Leu Ile Val Gln Leu Val Tyr Gly
100 105 110

Leu Leu Leu Asn Thr Cys Trp Ile Ser Leu Leu Tyr Gly Ala Pro Tyr
115 120 125

Leu Ala Leu Leu Ser Thr Arg Ile Val Gln Tyr Val Val Leu Ile Pro
130 135 140

Val Gln Phe Val Ile Ile Ala Arg Met Tyr Val Leu Gly Ser Lys Lys
145 150 155 160

Tyr His Ile Leu Gln Glu Asn Ser
165

<210> 18

<211> 187

<212> БЕЛОК

<213> Clostridium phytofermentans

<400> 18

Met Leu Asn Gln Glu Lys Asn Val Lys Asn Lys Asp Leu Lys Lys Gly
1 5 10 15

Lys Lys Val Phe Thr Leu Glu Thr Phe Ile Val Leu Ala Leu Leu Val
20 25 30

Ala Ile Glu Val Ile Leu Thr Arg Phe Leu Ser Leu Lys Glu Trp Asn
35 40 45

Ile Arg Phe Ser Phe Gly Phe Ile Pro Val Val Ile Ala Ala Ile Leu
50 55 60

Tyr Gly Pro Ile Ala Ser Ala Thr Val Ala Ala Cys Ser Asp Phe Leu
65 70 75 80

Gly Ala Ile Leu Phe Pro Met Gly Ala Tyr Phe Pro Gly Phe Thr Ile
85 90 95

Thr Ala Phe Ile Ser Gly Ile Val Tyr Gly Leu Phe Leu His Lys Lys
100 105 110

Gln Ser Leu Pro Asn Ile Val Gly Ala Ala Val Val Asn Gln Phe Phe
115 120 125

Cys Gly Leu Val Ile Asn Ser Tyr Trp Leu Ser Ile Ile Ser Gly Lys
130 135 140

Ser Thr Phe Trp Gly Leu Ile Pro Ile Arg Ser Ile Gln Ser Ala Val
145 150 155 160

Met Ser Ile Val Ile Ile Ser Val Thr Tyr Val Ile Ser Lys Thr Ile
165 170 175

Val Pro Ile Ile Lys Lys Ala Ile Val Ile Met
180 185

<210> 19

<211> 189

<212> БЕЛОК

<213> Alkaliphilus metallireducens

<400> 19

Met Lys Phe Asn Thr Arg Lys Leu Val Thr Leu Ser Leu Leu Met Ala
1 5 10 15

Leu Thr Ile Val Phe Thr Arg Ile Ala Ser Ile Arg Ile Pro Phe Gly
20 25 30

Gly Val Glu Gly Val Arg Val Gly Phe Gly Ser Leu Pro Ile Leu Leu
35 40 45

Ala Gly Ile Leu Phe Gly Pro Ile Ser Gly Phe Ile Val Gly Ala Leu
50 55 60

Gly Asp Leu Ile Gly Tyr Phe Leu Asn Pro Met Gly Ala Tyr Met Pro
65 70 75 80

His Phe Thr Leu Ser Ala Gly Leu Ser Gly Phe Ile Pro Gly Ser Ile
85 90 95

Tyr Tyr Phe Thr Phe Arg Pro Lys Ser Asn Ile His Phe Ser Ser Lys
100 105 110

Leu Gln Val Ser Arg Pro Ser Phe Trp Leu Ile Phe Ile Ser Ile Leu
115 120 125

Ile Gly Gln Val Thr Ile Ser Leu Leu Leu Ile Pro Tyr Phe Leu Ser
130 135 140

Ala Leu Phe Ser Ile Pro Tyr Glu Leu Thr Ile Ile Pro Arg Thr Ile
145 150 155 160

Thr Gln Leu Ile Ser Ile Pro Ile Phe Ser Trp Val Ile Trp Ile Ile
165 170 175

Ser Asn Lys Thr Asn Ile Phe Asp Tyr Val Lys Ser Lys
180 185

<210> 20
<211> 162
<212> БЕЛОК
<213> Thermoanaerobacter tengcongensis

<400> 20

Met Lys Lys Phe Thr Thr Arg Glu Ile Ala Phe Leu Ala Leu Leu Val
1 5 10 15

Ala Leu Asn Ile Val Leu Thr Arg Ile Ala Ser Ile Arg Ile Ala Ile
20 25 30

Gly Gly Val Glu Gly Ile Arg Ile Gly Phe Gly Ala Phe Pro Val Ile
35 40 45

Phe Ser Gly Ile Ala Phe Gly Pro Tyr Ala Gly Gly Ile Val Gly Ala
50 55 60

Leu Gly Asp Ile Ile Gly Tyr Phe Ile Asn Pro Met Gly Pro Tyr Met
65 70 75 80

Pro His Phe Thr Phe Thr Ala Ala Leu Val Gly Ile Leu Pro Pro Leu
85 90 95

Phe Leu Lys Pro Phe Lys Ala Gln Ile Pro Thr Phe Trp Gln Leu Val
100 105 110

Ile Ala Ile Gly Leu Gly Gln Thr Ile Ser Ser Ile Ile Leu Thr Pro
115 120 125

Tyr Phe Ile Gln Met Leu Phe His Leu Pro Met Lys Ile Thr Val Pro
130 135 140

Pro Arg Ile Val Thr Gln Ala Ile Gln Val Pro Leu Tyr Ala Phe Leu
145 150 155 160

Leu Lys

<210> 21
<211> 175
<212> БЕЛОК
<213> Enterococcus faecium

<400> 21

His Arg Leu Asp Ala Arg Met Ile Ala Ile Met Gly Leu Leu Ile Ala
1 5 10 15

Leu Met Val Thr Leu Ser Arg Leu Val Ala Ile Glu Thr Pro Phe Ile
20 25 30

Lys Ile Ser Val Thr Phe Ile Pro Gln Val Ile Met Gly Ile Leu Phe
35 40 45

Gly Pro Phe Trp Ser Gly Ile Gly Ala Val Leu Ala Asp Leu Val Gly
50 55 60

Met Ala Leu Phe Ser Lys Ser Ala Phe Phe Ile Gly Phe Thr Leu Asn
65 70 75 80

Ala Phe Ile Glu Gly Ala Ile Tyr Gly Phe Phe Phe Tyr Arg Lys Glu
85 90 95

Ile Thr Trp Lys Asn Ala Ile Leu Ala Thr Leu Ser Val Thr Leu Ile

| | | | |
|---|-----|-----|-----|
| | 100 | 105 | 110 |
| Ile Asn Leu Phe Leu Thr Pro Leu Trp Leu Ala Leu Met Tyr His Val | | | |
| 115 | 120 | 125 | |
| Pro Leu Phe Ser Trp Val Val Trp Ala Pro Arg Leu Leu Lys Thr Val | | | |
| 130 | 135 | 140 | |
| Ile Trp Leu Pro Ile Gln Ser Ile Ala Ile Tyr Tyr Val Gly Arg Ser | | | |
| 145 | 150 | 155 | 160 |
| Ile Pro Tyr Lys Lys Ile Leu Arg Ser Leu Ala Ile His Ala Lys | | | |
| 165 | 170 | 175 | |
| <210> 22 | | | |
| <211> 179 | | | |
| <212> БЕЛОК | | | |
| <213> Enterococcus faecalis | | | |
| <400> 22 | | | |
| Met Thr Lys Lys Phe Gly Thr Lys Ser Ile Ala Leu Met Gly Val | | | |
| 1 | 5 | 10 | 15 |
| Leu Ile Ala Val Val Val Phe Ser Arg Phe Phe Ala Tyr Glu Thr | | | |
| 20 | 25 | 30 | |
| Thr Phe Leu Lys Ile Ser Phe Thr Phe Ile Pro Glu Ser Leu Ile Gly | | | |
| 35 | 40 | 45 | |
| Met Ile Phe Gly Pro Phe Trp Ala Gly Ile Gly Thr Ala Val Ala Asp | | | |
| 50 | 55 | 60 | |
| Val Val Gly Met Leu Leu Phe Pro Lys Ala Gly Tyr Phe Pro Gly Phe | | | |
| 65 | 70 | 75 | 80 |
| Thr Leu Asn Ala Phe Leu Ala Gly Ala Ile Tyr Gly Tyr Phe Tyr Tyr | | | |
| 85 | 90 | 95 | |
| Lys Lys Glu Met Thr Trp Gln Arg Val Ile Leu Ala Thr Leu Leu Val | | | |
| 100 | 105 | 110 | |
| Thr Val Leu Ile Asn Ile Ile Leu Thr Pro Leu Trp Leu Ser Leu Met | | | |
| 115 | 120 | 125 | |
| Tyr Gly Val Asn Leu Ala Asn Phe Ala Trp Trp Val Pro Arg Leu Ile | | | |
| 130 | 135 | 140 | |
| Lys Thr Val Ile Phe Phe Pro Ile Gln Val Ile Ala Thr Tyr Tyr Leu | | | |
| 145 | 150 | 155 | 160 |

Gly Asn Lys Ile Pro Phe Lys Arg Leu Phe Gly Lys Pro Leu Ser Glu
165 170 175

Leu Asp Gln

<210> 23
<211> 177
<212> БЕЛОК
<213> Lactobacillus brevis

<400> 23

Met Lys Thr Met Ala Lys Thr Gln Leu Pro Lys Leu Asp Thr Leu Ser
1 5 10 15

Met Val Thr Met Gly Val Leu Met Ala Leu Gln Leu Val Ile Ser Arg
20 25 30

Phe Ser Val Gly Asn Asn Phe Ile Lys Val Ser Phe Thr Phe Leu Ile
35 40 45

Val Ala Leu Ile Ala Lys Trp Phe Gly Pro Trp Trp Gly Met Leu Thr
50 55 60

Ala Ala Val Val Asp Val Ile Gly Thr Leu Met Thr Gly Gly Pro Phe
65 70 75 80

Phe Ile Gly Phe Thr Val Ser Ala Val Leu Gly Ser Leu Ile Tyr Ala
85 90 95

Val Phe Leu Tyr Arg Gln Pro Val Ser Trp Trp Arg Val Ile Gly Ala
100 105 110

Ser Val Leu Ile Ala Leu Leu Val Asn Thr Leu Leu Asn Thr Leu Trp
115 120 125

Val Thr Ile Met Tyr Gln Thr Pro Phe Trp Ser Leu Leu Pro Val Arg
130 135 140

Ala Leu Lys Glu Leu Ile Val Thr Pro Val Gln Ile Val Leu Val Tyr
145 150 155 160

Leu Leu Leu Lys Ser Gln Val Ile Gln Met Ile Gln Ala Arg Leu Asn
165 170 175

Lys

<210> 24
<211> 186
<212> БЕЛОК
<213> Streptococcus mutans

<400> 24

Met Asn Thr Met Phe Lys Ser Pro Lys Leu Ser Pro Gln Arg Leu Val
1 5 10 15

Thr Leu Ala Met Leu Ile Ala Leu Ala Phe Ala Ile Gly Lys Phe Ser
20 25 30

Ile Pro Ile Ile Pro Gln Gln Leu Ile Ile Ser Pro Thr Phe Ile Val
35 40 45

Asn Val Met Ile Gly Met Ile Gly Gly Pro Ile Trp Ala Phe Ile Ser
50 55 60

Leu Ala Ile Leu Asp Ile Val Asp Asn Leu Ser Ser Gly Ala Gly Asn
65 70 75 80

Phe Ile Ile Trp Trp Thr Leu Leu Glu Ala Val Gln Gly Leu Phe Tyr
85 90 95

Gly Leu Phe Phe Tyr Gln Lys Ser Leu Ser Trp Thr Asn Lys Lys Asp
100 105 110

Trp Leu His Val Thr Ile Ala Thr Ala Ile Ile Met Leu Ile Gly Ser
115 120 125

Phe Ile Phe Thr Pro Leu Leu Val Gln Ile Tyr Tyr Gly Val Pro Phe
130 135 140

Trp Ala Gln Phe Ala Ala Gly Arg Trp Leu Lys Ile Phe Glu Ile Pro
145 150 155 160

Ile Arg Ile Leu Val Thr Met Ala Ile Met Pro Gln Leu Gln Arg Ile
165 170 175

Pro Glu Leu Arg Lys Leu Ala Asn Phe Lys
180 185

<210> 25
<211> 186
<212> БЕЛОК
<213> Streptococcus gallolyticus

<400> 25

Met Asn Leu Phe Phe Lys Thr Pro Lys Leu Thr Leu Lys Arg Leu Val

| 1 | 5 | 10 | 15 |
|---|-----|-----|-----|
| Ser Leu Ala Met Leu Ile Ala Leu Ala Phe Ile Val Gly Lys Phe Ser | | | |
| 20 | 25 | 30 | |
| Ile Pro Val Ile Pro Gln Gln Leu Val Val Ser Leu Thr Phe Ile Val | | | |
| 35 | 40 | 45 | |
| Asn Thr Ile Ile Gly Met Ile Gly Gly Pro Ile Trp Gly Phe Ile Ser | | | |
| 50 | 55 | 60 | |
| Leu Gly Ile Leu Asp Val Val Asp Thr Leu Ser Ser Ser Ala Gly | | | |
| 65 | 70 | 75 | 80 |
| Asn Phe Ile Ile Trp Trp Thr Leu Met Glu Ala Ile Gln Gly Phe Phe | | | |
| 85 | 90 | 95 | |
| Tyr Gly Leu Phe Phe Tyr Gly Lys Pro Leu Ser Trp Ser Ser Lys Lys | | | |
| 100 | 105 | 110 | |
| Asp Trp Leu His Val Thr Ile Ala Thr Val Val Ile Met Leu Ile Gly | | | |
| 115 | 120 | 125 | |
| Thr Phe Ile Leu Thr Pro Leu Leu Ile Gln Ile Tyr Phe Gly Val Pro | | | |
| 130 | 135 | 140 | |
| Phe Trp Ala Gln Tyr Leu Ala Gly Arg Trp Leu Lys Ile Phe Glu Ile | | | |
| 145 | 150 | 155 | 160 |
| Pro Leu Arg Ile Ile Ile Thr Met Leu Val Ile Pro Arg Leu Gln Lys | | | |
| 165 | 170 | 175 | |
| Ile Pro Glu Leu Arg Lys Leu Ala Asn Leu | | | |
| 180 | 185 | | |
| <210> 26 | | | |
| <211> 185 | | | |
| <212> БЕЛОК | | | |
| <213> Streptococcus uberis | | | |
| <400> 26 | | | |
| Met Pro Lys Gln Leu Tyr Phe Pro Lys Leu Thr Val Gln Arg Leu Val | | | |
| 1 | 5 | 10 | 15 |
| Thr Leu Ala Met Leu Ile Ala Leu Ala Val Ile Val Ser Lys Phe Ser | | | |
| 20 | 25 | 30 | |
| Val Ser Ile Ile Pro Asn Gln Leu Val Ile Ser Phe Thr Phe Ile Val | | | |
| 35 | 40 | 45 | |

Asn Thr Val Ile Gly Ile Ile Ala Gly Pro Phe Trp Ser Phe Ile Thr
50 55 60

Leu Ala Met Ile Asp Leu Ile Asp Ser Leu Met Gly Gly Thr Ser His
65 70 75 80

Phe Ile Ile Trp Trp Thr Val Met Glu Ala Phe Gln Gly Leu Leu Tyr
85 90 95

Gly Phe Phe Phe Tyr Lys Arg Pro Leu Arg Ser Asn Gln Lys Lys Asp
100 105 110

Trp Ile Tyr Val Ser Ala Val Thr Leu Val Ile Met Leu Phe Ser Thr
115 120 125

Phe Leu Ile Thr Pro Leu Leu Ile Gln Ile Tyr Phe His Val Pro Phe
130 135 140

Trp Ala Gln Tyr Ala Ala Gly Arg Trp Phe Lys Ile Phe Glu Ile Pro
145 150 155 160

Leu Arg Val Leu Leu Thr Met Phe Leu Ile Pro Pro Leu Gln Arg Ile
165 170 175

Pro Glu Ile Lys Lys Leu Ser Ala Leu
180 185

<210> 27
<211> 183
<212> БЕЛОК
<213> Streptococcus suis

<400> 27

Met Glu Lys Lys Ile Pro Lys Leu Thr Val Gln Leu Leu Ala Ala Ile
1 5 10 15

Ala Met Thr Leu Ala Leu Val Met Ile Val Glu Asn Tyr Phe Ser Ile
20 25 30

Arg Ile Ser Asp Thr Leu Gln Val Gln Phe Thr Phe Ile Pro Asn Thr
35 40 45

Ile Leu Gly Ala Ile Ala Gly Pro Val Trp Ala Ala Val Phe Ala Ala
50 55 60

Ile Ser Asp Pro Val Phe Val Leu Phe Ser Gly Gln Thr Val Leu Phe
65 70 75 80

Thr Trp Ile Leu Ile Glu Ala Val Ser Ala Phe Ile Tyr Gly Trp Phe
85 90 95

Phe Tyr Arg Lys Pro Leu Asp Thr Lys Asn Lys Ala Asp Trp Leu Tyr
100 105 110

Val Ala Gly Val Val Val Leu Ile Gln Val Val Ile Ser Phe Ile Met
115 120 125

Thr Pro Ile Ala Leu His Phe His Gly Thr Pro Trp Ile Val Leu
130 135 140

Tyr Ser Ser Arg Leu Ile Lys Ala Val Phe Glu Ile Pro Leu Arg Ile
145 150 155 160

Val Val Thr Met Leu Val Leu Pro Ser Leu Gln Lys Ile Pro Glu Leu
165 170 175

Ala Lys Leu Met Gly Ile Lys
180

ФОРМУЛА ИЗОБРЕТЕНИЯ

1. Мутант $\Delta Folt$ бактерии, обладающий сниженной способностью транспорта фолата, отличающийся тем, что указанная способность была снижена 5 путем функционального удаления функции транспортера фолата ($Folt$).
2. Мутант $\Delta Folt$ по п. 1, классифицируемый как стрептококк, предпочтительно как *S. suis*.
- 10 3. Мутант $\Delta Folt$ по п. 1 или 2, характеризующийся способностью синтезировать фолат.
4. Мутант $\Delta Folt$ по любому из п.п. 1-3, характеризующийся сниженной экспрессией $Folt$.
- 15 5. Мутант $\Delta Folt$ по любому из п.п. 1-4, характеризующийся мутацией или делецией пептидного домена FYRKР или в нем, или вставкой в пептидном домене FYRKР, предпочтительно характеризующийся мутацией R в пептидном домене FYRKР.
- 20 6. Мутант $\Delta Folt$ по любому из п.п. 1-5, депонированный как «мутант *Streptococcus suis* $\Delta Folt$ CBS 140425» в Centraalbureau voor Schimmelcultures 19 августа 2015 года.
- 25 7. Мутант $\Delta Folt$ по любому из п.п. 1-5, депонированный как «мутант *Streptococcus suis* $\Delta Folt2$ CBS 143192» в Westerdijk Fungal Biodiversity Institute 25 августа 2017 года.
8. Культура бактерии по любому из п.п. 1-7.
- 30 9. Композиция, содержащая бактерию по любому из п.п. 1-7 или культуру по п. 8.

10. Иммуногенная композиция, содержащая бактерию по любому из п.п. 1-7 или культуру по п. 8.

11. Применение композиции по п. 9 или 10 для производства вакцины.

5

12. Вакцина, содержащая бактерию по любому из п.п. 1-7, культуру по п. 8 или композицию по п. 9 или 10.

13. Набор для вакцинации животного, предпочтительно свиньи, от 10 заболевания, связанного с инфекцией *Streptococcus suis*, включающий:

- а. дозатор для введения вакцины животному, предпочтительно, свинье; и
- б. мутантный штамм *ΔFolT* по любому из п.п. 1-7 или культуру по п. 8,

композицию по п. 9 или 10 и

- в. в некоторых случаях инструкцию.

15

14. Бактерия или ее культура, депонированная как «мутант *Streptococcus suis ΔFolT CBS 140425*» в Centraalbureau voor Schimmelcultures 19 августа 2015 года.

20 15. Бактерия или ее культура, депонированная как «мутант *Streptococcus suis ΔFolT2 CBS 143192*» в Westerdijk Fungal Biodiversity Institute 25 августа 2017 года.

25 16. Способ снижения вирулентности бактерии, включающий снижение способности указанной бактерии транспортировать фолат.

17. Способ по п. 16, в котором указанная бактерия способна синтезировать фолат *de novo*.

30 18. Способ по п. 16 или 17, включающий снижение экспрессии и/или функции белка, связывающего субстрат фолата (*FolT*), у указанной бактерии.

19. Способ по п.п. 16-18, в котором указанную вирулентность снижают путем обеспечения мутации, делеции или вставки в ген *folT* указанной бактерии.

20. Способ по п. 19, в котором указанную вирулентность снижают путем обеспечения мутации, делеции или вставки в ДНК указанной бактерии, кодирующей промотор гена *folT*.

5

21. Способ по п. 19 или 20, в котором указанную вирулентность снижают путем обеспечения мутации, делеции или вставки в ДНК указанной бактерии, кодирующей трансмембранный белок FolT, связывающего субстрат фолата.

10

22. Способ по п.п. 19, 20 или 21, в котором указанную вирулентность снижают путем обеспечения мутации, делеции или вставки в области ДНК указанной бактерии, кодирующей FolT, которая кодирует область, критическую для связывания субстрата.

15

23. Способ по любому из п.п. 16-22, в котором указанная бактерия представляет собой фирмикут, предпочтительно *Streptococcus*, более предпочтительно *Streptococcus suis*, более предпочтительно мутант Δ *FolT*, депонированный как «мутант *Streptococcus suis* Δ *FolT* CBS 140425» в Centraalbureau voor Schimmelcultures 19 августа 2015 года, наиболее предпочтительно мутант Δ *FolT*, депонированный как «мутант *Streptococcus suis* Δ *FolT2* CBS 143192» в Westerdijk Fungal Biodiversity Institute 25 августа 2017 года.

25 24. Бактерия со сниженной вирулентностью, которую можно получить или полученная способом по любому из п.п. 16-23.

25. Культура бактерии по п. 24.

30 26. Композиция, содержащая бактерию по п. 24 или культуру по п. 25.

27. Иммуногенная композиция, содержащая бактерию по п. 24 или культуру по п. 25.

28. Применение культуры по п. 25 или композиции по п. 26 или 27 для производства вакцины.

29. Вакцина, содержащая бактерию по п. 24 или культуру по п. 25,
5 композицию по п. 26 или 27.

30. Способ получения бактерии, включающий отбор родительского бактериального штамма, обычно способного к транспорту фолата и синтезу фолата, и отбор бактерии из этого родительского штамма по наличию мутации, 10 делеции или вставки в ДНК указанной бактерии, кодирующей белок, связывающий субстрат фолата, и отбор указанной бактерии по способности расти с такой же скоростью, как и указанный родительский штамм *in vitro*, но расти с более низкой скоростью по сравнению с указанным родительским штаммом *in vivo*.

15
31. Способ получения бактерии, включающий отбор родительского бактериального штамма, обычно способного к транспорту фолата и синтезу фолата, и трансформацию бактерии из этого родительского штамма путем обеспечения мутации, делеции или вставки в ДНК указанной бактерии, 20 кодирующей белок, связывающий субстрат фолата, и отбор указанной бактерии по способности расти с такой же скоростью, как и указанный родительский штамм *in vitro*, но расти с более низкой скоростью по сравнению с указанным родительским штаммом *in vivo*.

25
32. Бактерия, которую можно получить или полученная способом по п.п. 30 или 31.

33. Бактерия по п. 32, которая классифицируется как фирмикут, 30 предпочтительно как *Streptococcus*, более предпочтительно как *Streptococcus suis*.

34. Культура бактерии по п.п. 32 или 33.

35. Композиция, содержащая бактерию по п.п. 32 или 33, или культуру по п. 34.

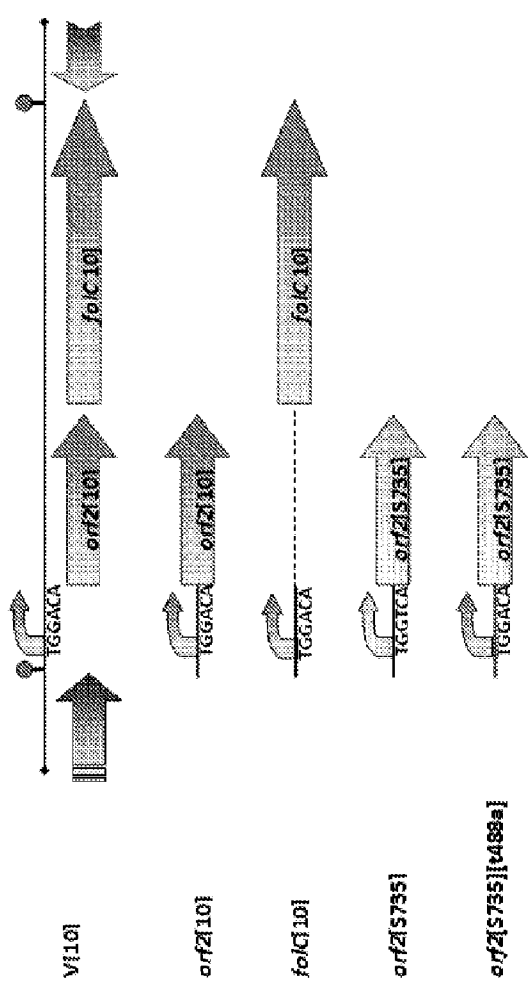
36. Иммуногенная композиция, содержащая бактерию по п.п. 32 или 33, 5 или культуру по п. 34.

37. Применение композиции по п.п. 35 или 36 для производства вакцины.

10 38. Вакцина, содержащая бактерию по п.п. 32 или 33, или культуру по п. 34, или композицию по п.п. 35 или 36.

СНИЖЕНИЕ ВИРУЛЕНТНОСТИ БАКТЕРИЙ ПУТЕМ СНИЖЕНИЯ ТРАНСПОРТА ФОЛАТА У БАКТЕРИЙ

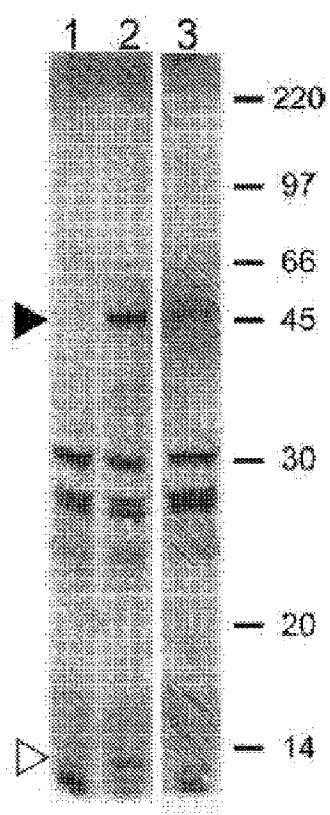
1/17



ФИГ. 1

СНИЖЕНИЕ ВИРУЛЕНТНОСТИ БАКТЕРИЙ ПУТЕМ СНИЖЕНИЯ
ТРАНСПОРТА ФОЛАТА У БАКТЕРИЙ

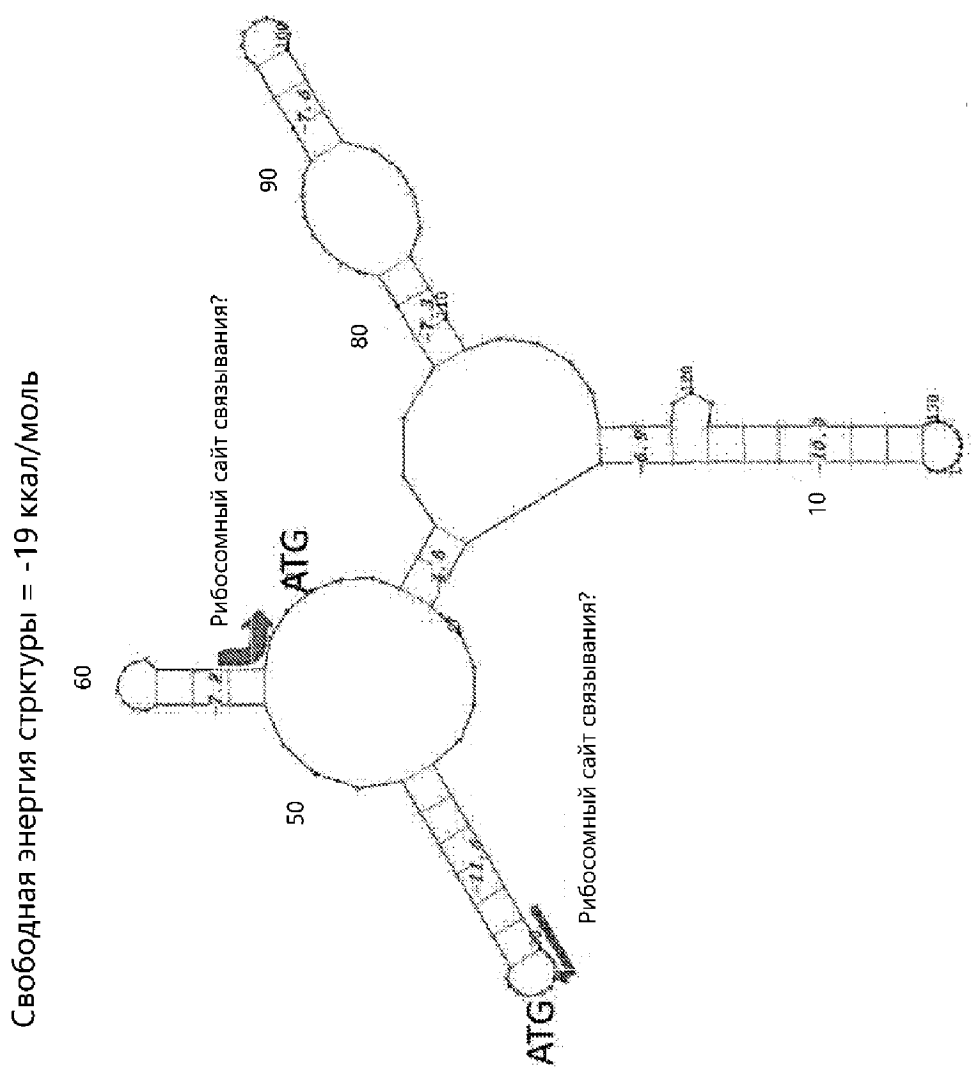
2/17



ФИГ. 2

СНИЖЕНИЕ ВИРУЛЕНТНОСТИ БАКТЕРИЙ ПУТЕМ СНИЖЕНИЯ ТРАНСПОРТА ФОЛАТА У БАКТЕРИЙ

3/17



ФИГ. 3

СНИЖЕНИЕ ВИРУЛЕНТНОСТИ БАКТЕРИЙ ПУТЕМ СНИЖЕНИЯ ТРАНСПОРТА ФОЛАТА У БАКТЕРИЙ

4/17

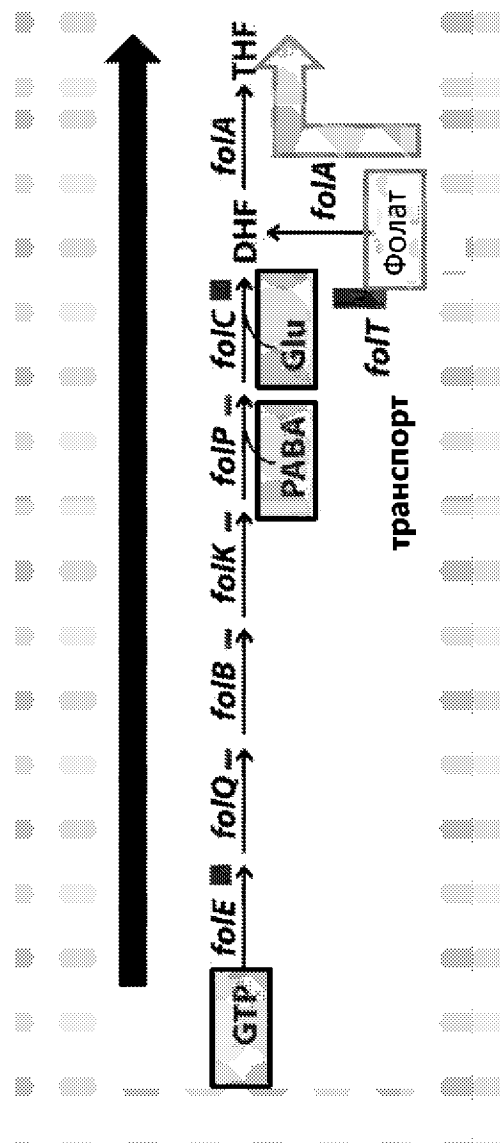
Clustal 2.1 выравнивание нескольких последовательностей

| | | | | |
|-----|--|--|----------------|-----|
| CB | MTKTK | HMVWMGILIAVSIVLRSRFLSFSAWN | VKIGFAF | 37 |
| CP | MLNQEKNVKNEKDLKKGVVFTEFTIVLALLVAEIVILTRFLSLKEWN | IRFSFGF | 55 | |
| AM | MKFNTR | KLVTLSLIMALTIVFTRIASIRIFPFGGVEGVRVGFGS | 43 | |
| TT | MKKFTTR | EIAFLALLVAINTIVLRTIASIRIAIGGVEGIRIGFGA | 44 | |
| EFM | HRLDAR | MIAIMGLIATMVTLSRV | AIETPFIKISVTF | 38 |
| EFS | MTKKKFGTK | SIALMGVLIAAVVVVSRFF | AYETTLKISSTF | 41 |
| LB | MKTMKTQPLKLDTL | SMVTMGLVMLAQLVSRFS | VGNM FIKVSTF | 46 |
| SM | MNTMFKSPKLTLK | RLVTLAMLIALAFIAIGKFS | IPIIPQQLIISPTF | 46 |
| SG | MNLFFKTPKLTLK | RLVSLAMLIALAFIVGKFS | IPVIPQQLVVSILT | 46 |
| SUB | MPKQLYFPKLIVQ | RLVILAMLIALAVISKFS | VSIIPNQLVISFIF | 46 |
| SSU | MEKKIPKLTVQ | LLAAIATMLALAVMIVENYF | SIRISDTLQVQFTF | 44 |
| | : | : | : | : |
| CB | IPIVIGAVLFGPVQGGIAAAAADFLGALLFP | IGMYFPGETVTAFLTGLTYG | | 88 |
| CP | IPVVIAGLYPTIASATVAAACSDFLGALLEP | MGAYFPGETITAFISGIVYG | | 106 |
| AM | LPILLAGILFGPIGFIVGALGDLIGYFLNP | MGAYMPHFTLTSAGLSGIFTPGSIYYFTFR | | 102 |
| TT | FPVIFSGIAFGPYAGGIVGALGDIIGYFINP | MGPYMPHFTFTAALVGLLP | | 94 |
| EFM | IPQVIMGILFGPFWWSGIGAVLADLVGMALFS | KSAFFIGFTLNNAFIEGAIIYG | | 89 |
| EFS | IPESLIGMIIFGPFWAGIGTAVADVVGMLIFP | KAGYFPGETLNNAFLAGAIIYG | | 92 |
| LB | LIVALLAKWFGPNWGMLTAAVDVIG | TLMT GGPFFFIGFTVSAILVGSILYA | | 96 |
| SM | IVNVIMIGMIGGIPIWAFISLAILDIDVNLSSG | AGNFIIWWTLLAEAVQGLFYG | | 97 |
| SG | IVNTLIGMIIGGPIWFSFISLGLLDVVDTLSSSSAGNFIIWWTLLMEAIQGFYFYG | | | 98 |
| SUB | IVNTVIGIGIAGPFWFSFITLAMIDLDSLMGG | TSHFIIWWTVMEAFQGLLYG | | 97 |
| SSU | IPNTILGAIAGPVWAARVFAAISDPFVFLFSG | QTVLFTWILIEAVSAFIYG | | 94 |
| | : | * | : | : |
| CB | ILLHKNRS | MFRRIACAVLIVQLVYGLLNLTCWISLLYG APYALL | 132 | |
| CP | LFLHKKQS | LPNIVGAAVVNQFFCGLVINSYWLSIISGKSTFWGLI | 151 | |
| AM | PKSNIHFSKSLQVSRSPS | FWLIFISILIGQVTISLLIPIYFLSALFSIPIYELTI | 156 | |
| TT | P LFLKPFKAQIPT | FWQLVIAIGLQQTISIILTPYFIQMLFXLPMKITVP | 144 | |
| EFM | FFFYRKKEIT | WKNAIILATLSVTLLIINLFLTPLWLALMYHVPLFSWVV | 135 | |
| EFS | YFYYKKEMT | WQRVILATLLVTVLINVNIILTPFLWLSLMYGVNLANFAW | 138 | |
| LB | VFLYRQPVS | WWRVIGASVLIALLVNTLNLTVTIMYQTP | EWSL | 140 |
| SM | LFTYQKSLSWINKKDWLHVHTIATAIIMLIGSFTIPLVQIYYGVP | FWAQ | 147 | |
| SG | LFFYGKPLSWSKKDWLHVHTIATVVIMLIGFTILFPLLIQIYFGVP | FWAQ | 148 | |
| SUB | FFFFYKRPLRSNQKKDWIYVSAVTLVIMLFSTFLITPLLIQIYFHVP | FWAQ | 147 | |
| SSU | WFFYRKPLDTKNKADWLYVAGVVVLIQVVISFIMTFIALHFHGTP | WIVL | 144 | |
| | : | : | : | : |
| CB | STRIVQYVVLIPVQFVIIARMYVILGSKKYHILQENS | | 168 | |
| CP | PIRSIQSAVMS | IVIIISVTVYVISKTIIVPIIKKAIIVIM | 187 | |
| AM | PRTITQLISIPIFSWVIWIISNKTNIFDVVKSK | | 189 | |
| TT | PRIVTQAIQVPLAFLLK | | 162 | |
| EFM | WAPRLLKTVIWLPIQSIATIYVGRSIPYKLL | RSLAIHAK | 175 | |
| EFS | WVPRLIKTVIFFPIQVIALTYLGKNIKPFKRLFGKPLSELDQ | | 179 | |
| LB | LPVRALKELEVTPVQIVLVYLLLKSVIQMTCQARLNK | | 177 | |
| SM | FAAGRWLKIFEIPIRILVMTAIMPQLQRIPELRKLANFK | | 186 | |
| SG | YLAGRWLKIFEIPLRLLTMFLIPPLQRIPEIKKLSAL | | 186 | |
| SUB | YAAGRWFKIFEIPLRVLTTMFLLPQRIPEIKKLSAL | | 185 | |
| SSU | YSSRLIKAVFEIPLRIVVTTMLVLPSSLQKIPELAKLMGIK | | 183 | |
| | : | : | : | : |

ФИГ. 4

СНИЖЕНИЕ ВИРУЛЕНТНОСТИ БАКТЕРИЙ ПУТЕМ СНИЖЕНИЯ ТРАНСПОРТА ФОЛАТА У БАКТЕРИЙ

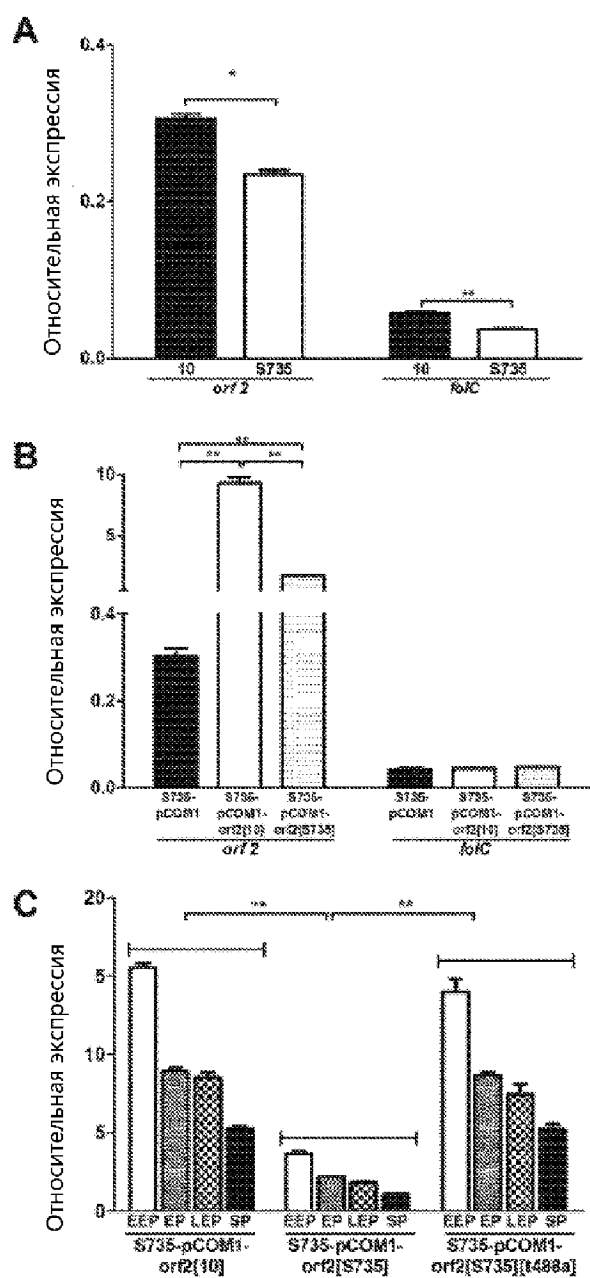
5/17



ФИГ. 5

СНИЖЕНИЕ ВИРУЛЕНТНОСТИ БАКТЕРИЙ ПУТЕМ СНИЖЕНИЯ
ТРАНСПОРТА ФОЛАТА У БАКТЕРИЙ

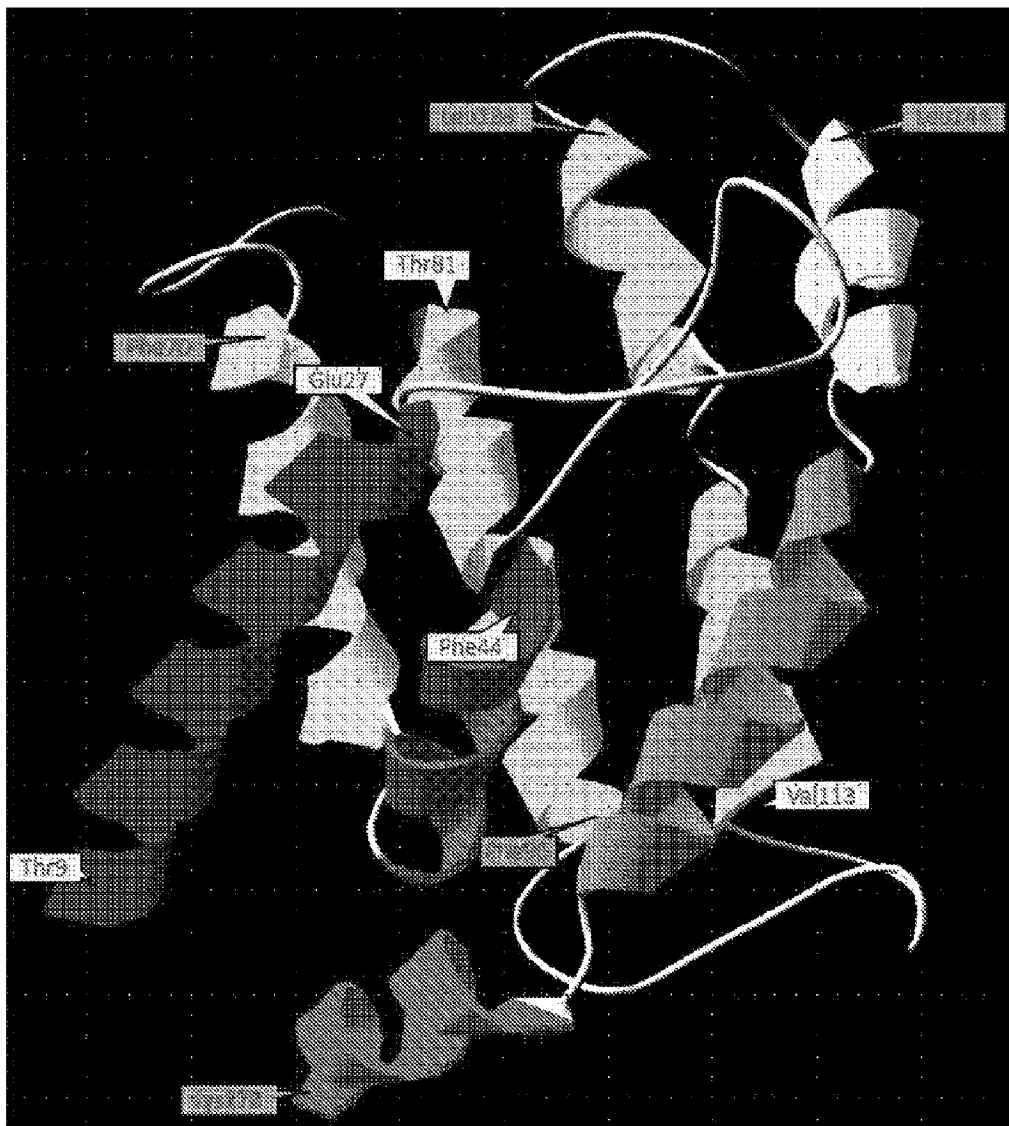
6/17



ФИГ. 6

СНИЖЕНИЕ ВИРУЛЕНТНОСТИ БАКТЕРИЙ ПУТЕМ СНИЖЕНИЯ
ТРАНСПОРТА ФОЛАТА У БАКТЕРИЙ

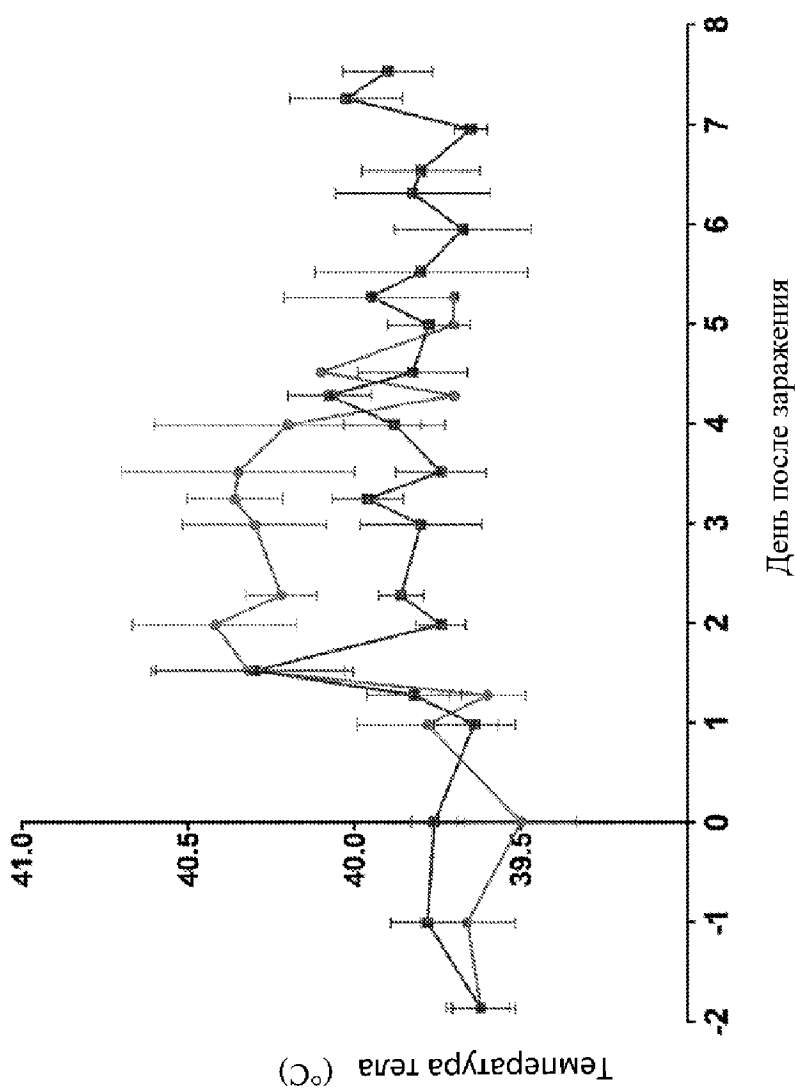
7/17



ФИГ. 7

СНИЖЕНИЕ ВИРУЛЕНТНОСТИ БАКТЕРИЙ ПУТЕМ СНИЖЕНИЯ ТРАНСПОРТА ФОЛАТА У БАКТЕРИЙ

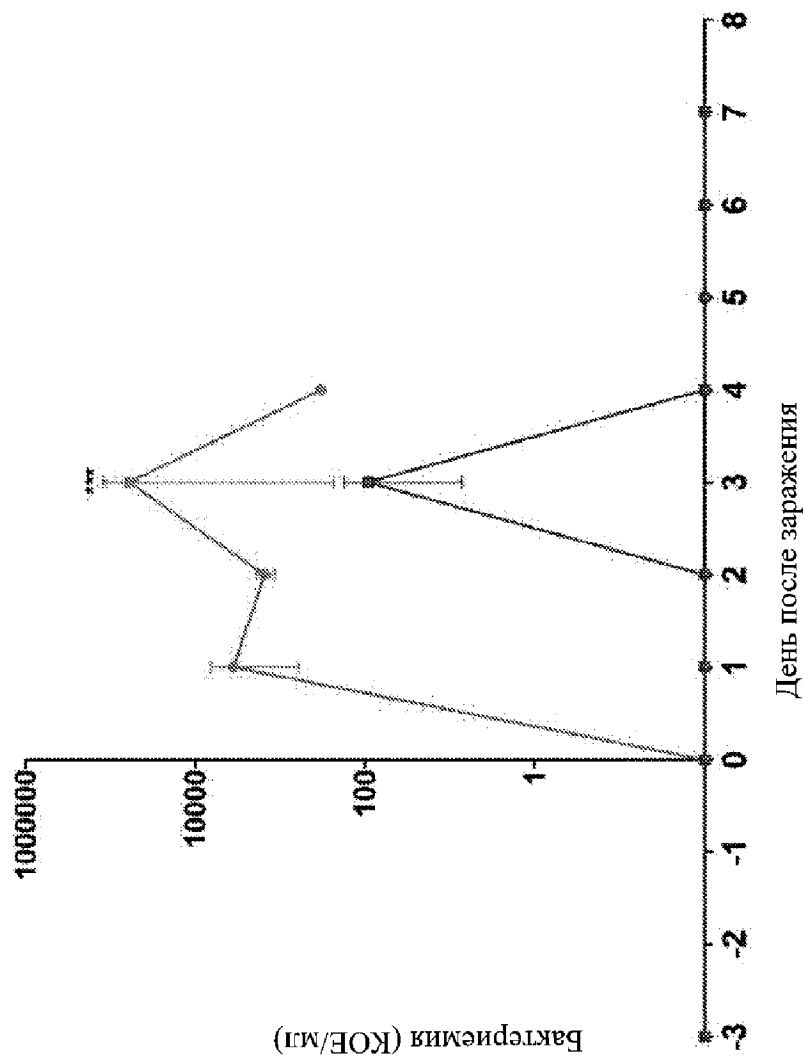
8/17



ФИГ. 8

СНИЖЕНИЕ ВИРУЛЕНТНОСТИ БАКТЕРИЙ ПУТЕМ СНИЖЕНИЯ ТРАНСПОРТА ФОЛАТА У БАКТЕРИЙ

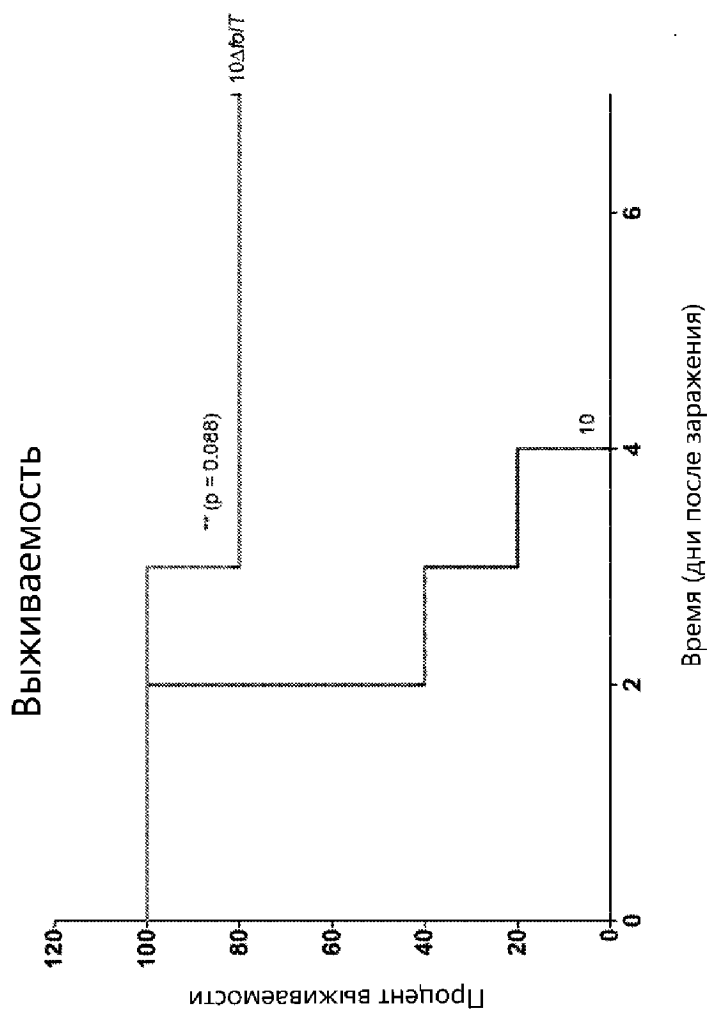
9/17



ФИГ. 9

СНИЖЕНИЕ ВИРУЛЕНТНОСТИ БАКТЕРИЙ ПУТЕМ СНИЖЕНИЯ ТРАНСПОРТА ФОЛАТА У БАКТЕРИЙ

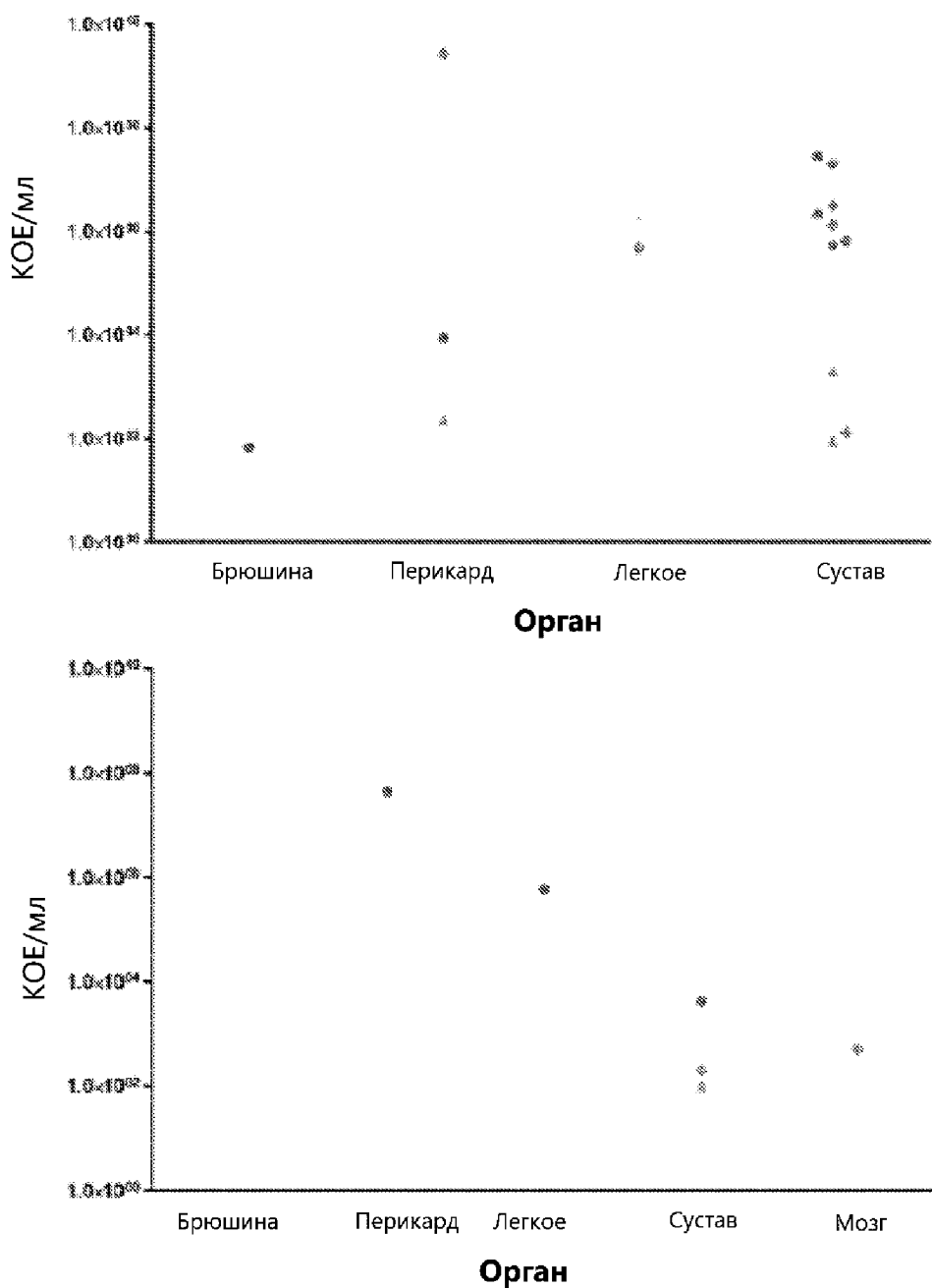
10/17



ФИГ. 10

СНИЖЕНИЕ ВИРУЛЕНТНОСТИ БАКТЕРИЙ ПУТЕМ СНИЖЕНИЯ ТРАНСПОРТА ФОЛАТА У БАКТЕРИЙ

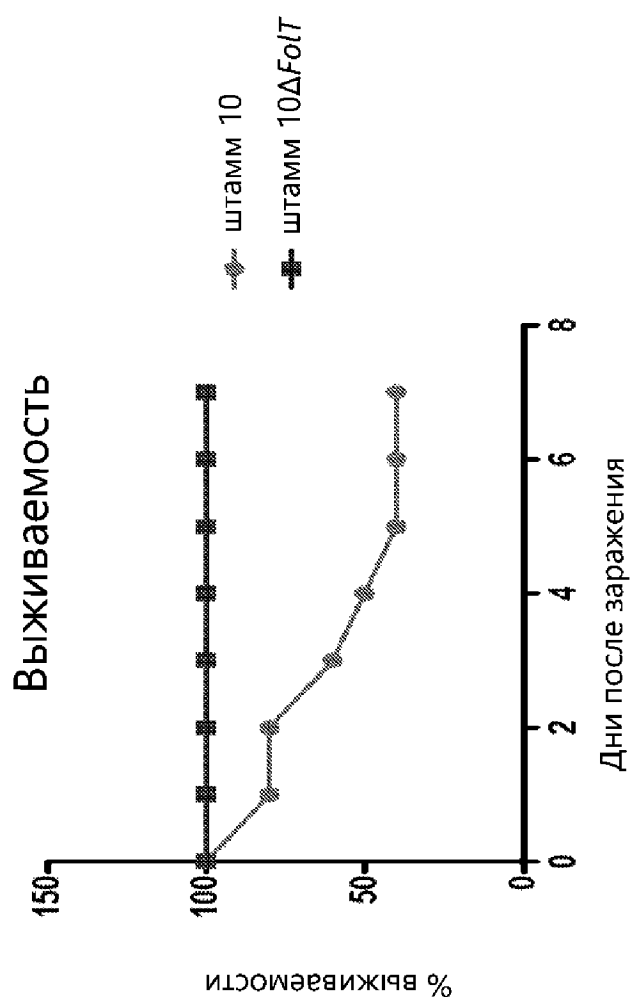
11/17



ФИГ. 11

СНИЖЕНИЕ ВИРУЛЕНТНОСТИ БАКТЕРИЙ ПУТЕМ СНИЖЕНИЯ
ТРАНСПОРТА ФОЛАТА У БАКТЕРИЙ

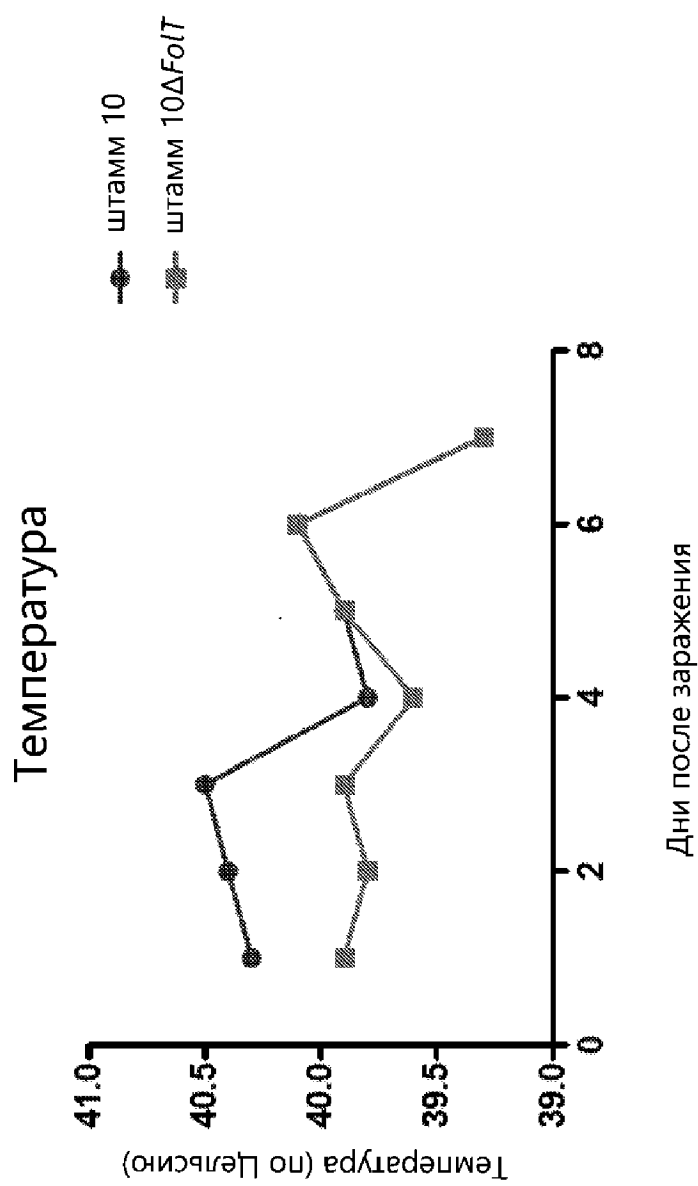
12/17



ФИГ. 12

СНИЖЕНИЕ ВИРУЛЕНТНОСТИ БАКТЕРИЙ ПУТЕМ СНИЖЕНИЯ
ТРАНСПОРТА ФОЛАТА У БАКТЕРИЙ

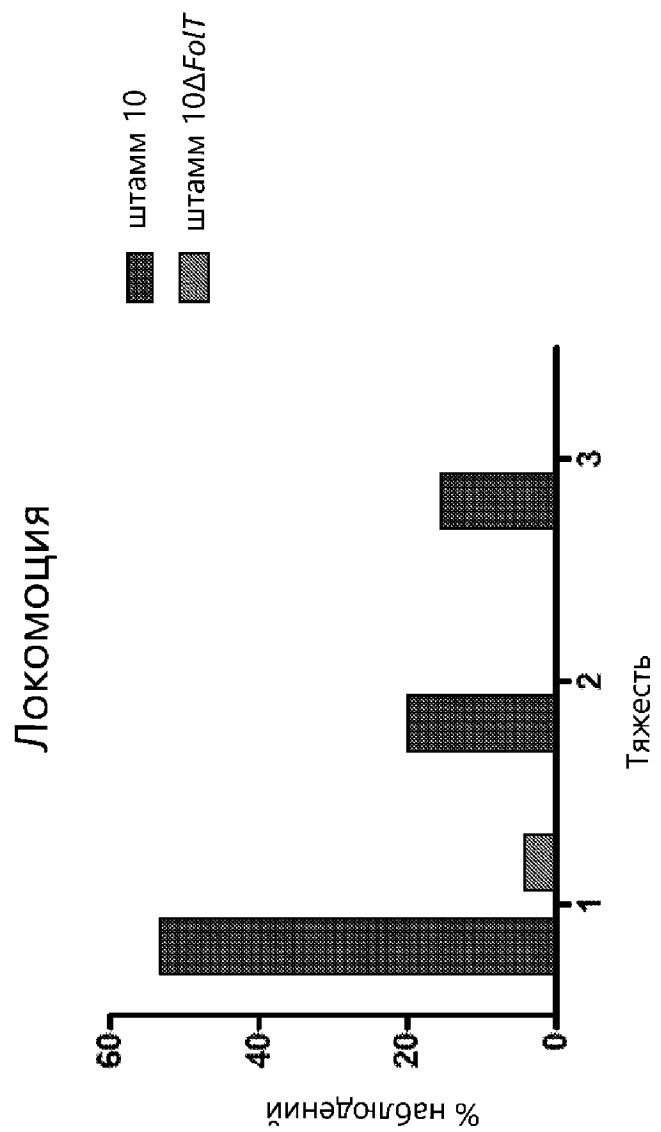
13/17



ФИГ. 13

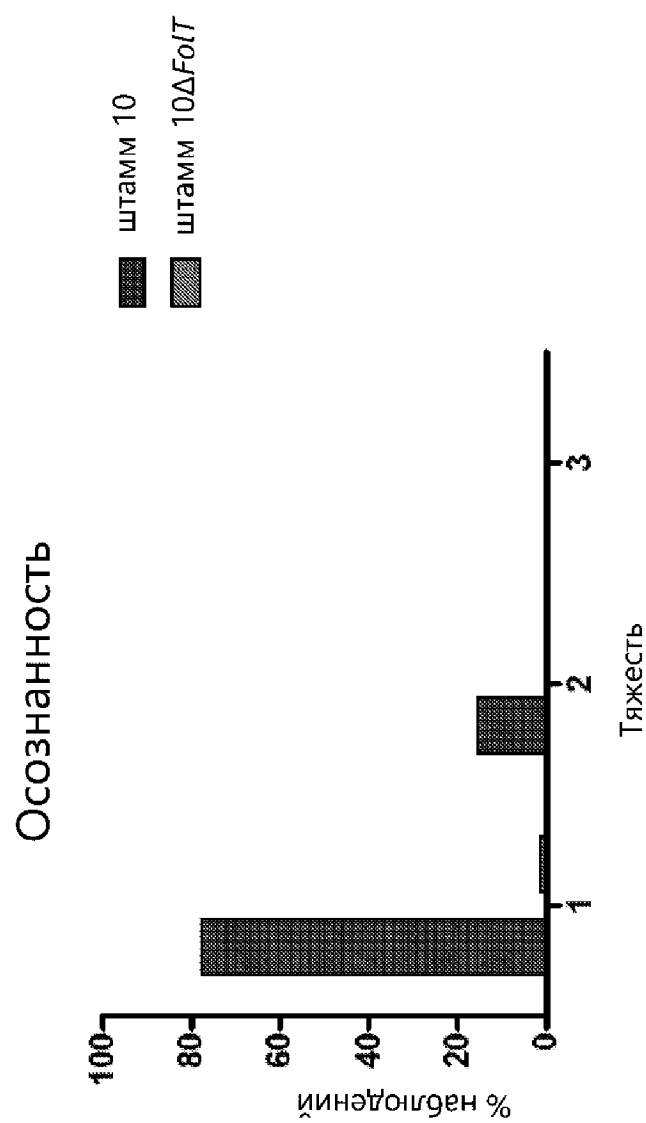
СНИЖЕНИЕ ВИРУЛЕНТНОСТИ БАКТЕРИЙ ПУТЕМ СНИЖЕНИЯ
ТРАНСПОРТА ФОЛАТА У БАКТЕРИЙ

14/17



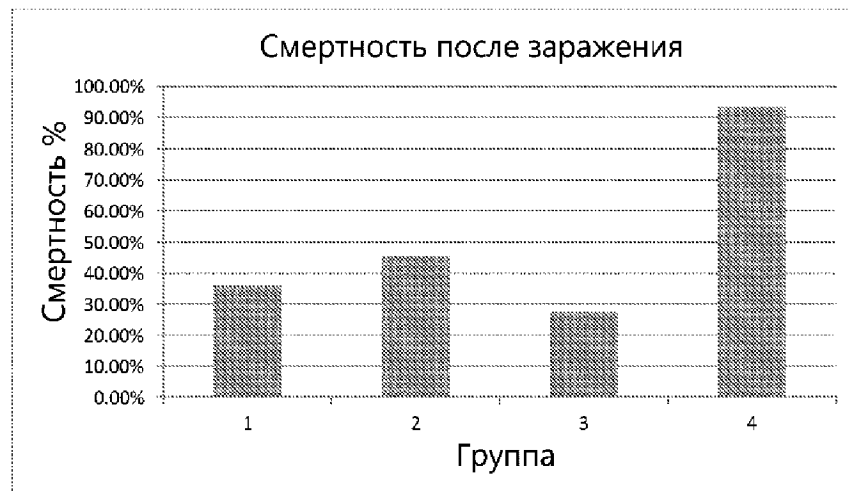
СНИЖЕНИЕ ВИРУЛЕНТНОСТИ БАКТЕРИЙ ПУТЕМ СНИЖЕНИЯ
ТРАНСПОРТА ФОЛАТА У БАКТЕРИЙ

15/17



СНИЖЕНИЕ ВИРУЛЕНТНОСТИ БАКТЕРИЙ ПУТЕМ СНИЖЕНИЯ ТРАНСПОРТА ФОЛАТА У БАКТЕРИЙ

16/17

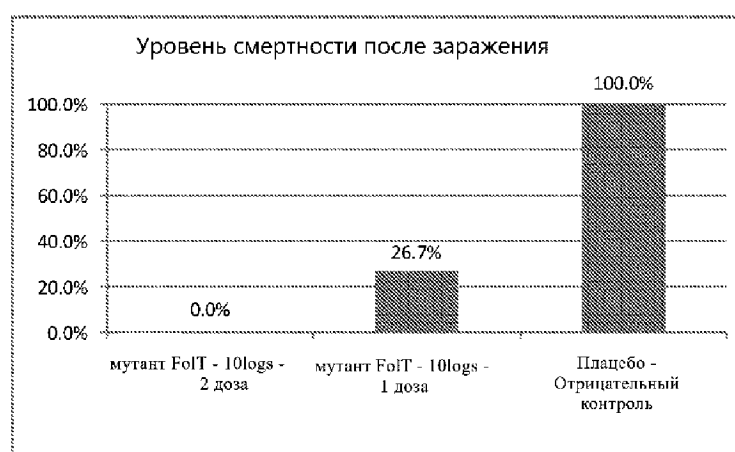


ФИГ. 16

СНИЖЕНИЕ ВИРУЛЕНТНОСТИ БАКТЕРИЙ ПУТЕМ СНИЖЕНИЯ ТРАНСПОРТА ФОЛАТА У БАКТЕРИЙ

17/17

Уровень смертности (CSB 140425)



ФИГ. 17